

# Estudio Poliedral y Algoritmo Branch-and-Cut para el Problema de Coloreo Equitativo en Grafos

**Daniel Esteban Severin**

Tesis para optar al título de

*Doctor de la Universidad de Buenos Aires*



*Directoras:*

Isabel Méndez-Díaz

Graciela Nasini

Buenos Aires, Marzo de 2012

- Problema de Coloreo Equitativo (PCEG):
  - Definición y aplicaciones
  - Diferencias con el Coloreo Clásico
  - Complejidad del problema
- Modelos de PLE para PCEG
- Estudio poliedral:
  - Adaptación de desigualdades válidas del Coloreo Clásico
  - Nuevas desigualdades válidas
- Algoritmo Branch-and-Cut ← Ecopt
  - Separación de desigualdades válidas
  - Heurísticas iniciales ← TabuEqCol
  - Heurísticas primales
  - Estrategia de branching
  - Rutina de enumeración
- Conclusiones y trabajos futuros

# Definiciones básicas

Sea  $G = (V, E)$        $V = \{1, \dots, n\}$

## Coloreo Clásico

$k$ -coloreo = partición de  $V$  en  $k$  conjuntos estables

$C_1, C_2, \dots, C_k \leftarrow$  clases de color

## Coloreo Equitativo

$k$ -eqcol =  $k$ -coloreo tal que:

$$\bullet \quad ||C_i| - |C_j|| \leq 1 \quad \forall i, j = 1, \dots, k$$

o equivalentemente:

$$\bullet \quad \lfloor n/k \rfloor \leq |C_j| \leq \lceil n/k \rceil \quad \forall j = 1, \dots, k$$

## Número cromático equitativo

$\chi_{eq}(G) = \min\{k : G \text{ admite un } k\text{-eqcol}\}$

- PCEG consiste en hallar  $\chi_{eq}(G)$

# Definiciones básicas

Sea  $G = (V, E)$        $V = \{1, \dots, n\}$

## Coloreo Clásico

$k$ -coloreo = partición de  $V$  en  $k$  conjuntos estables

$C_1, C_2, \dots, C_k \leftarrow$  clases de color

## Coloreo Equitativo

$k$ -eqcol =  $k$ -coloreo tal que:

$$\bullet \quad ||C_i| - |C_j|| \leq 1 \quad \forall i, j = 1, \dots, k$$

o equivalentemente:

$$\bullet \quad \lfloor n/k \rfloor \leq |C_j| \leq \lceil n/k \rceil \quad \forall j = 1, \dots, k$$

## Número cromático equitativo

$\chi_{eq}(G) = \min\{k : G \text{ admite un } k\text{-eqcol}\}$

- PCEG consiste en hallar  $\chi_{eq}(G)$

# Definiciones básicas

Sea  $G = (V, E)$        $V = \{1, \dots, n\}$

## Coloreo Clásico

$k$ -coloreo = partición de  $V$  en  $k$  conjuntos estables

$C_1, C_2, \dots, C_k \leftarrow$  clases de color

## Coloreo Equitativo

$k$ -eqcol =  $k$ -coloreo tal que:

- $\| |C_i| - |C_j| \| \leq 1 \quad \forall i, j = 1, \dots, k$

o equivalentemente:

- $\lfloor n/k \rfloor \leq |C_j| \leq \lceil n/k \rceil \quad \forall j = 1, \dots, k$

## Número cromático equitativo

$\chi_{eq}(G) = \min\{k : G \text{ admite un } k\text{-eqcol}\}$

- PCEG consiste en hallar  $\chi_{eq}(G)$

# Coloreo clásico vs. Coloreo equitativo

Estudio  
Poliedral y  
Algoritmo  
B&C para el  
PCEG

Severin

Introducción

Modelos de  
PLE para  
PCEG

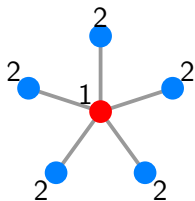
Estudio  
poliedral

Algoritmo de  
plano de  
corte

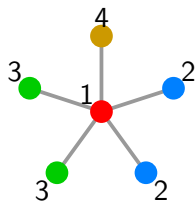
Algoritmo  
B&C

Resultados  
finales

# Coloreo clásico vs. Coloreo equitativo



$$\chi(K_{1,5}) = 2$$



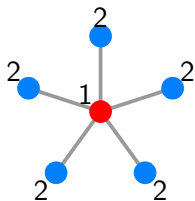
$$\chi_{eq}(K_{1,5}) = 4$$

- En todo coloreo, el vértice central conforma una clase de color de tamaño 1
- En col. equitativo, las otras clases de color tienen tamaño a lo sumo 2
- En general:

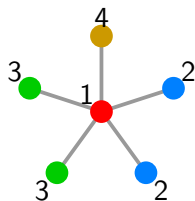
$$\chi(K_{1,m}) = 2$$

$$\chi_{eq}(K_{1,m}) = \lceil m/2 \rceil + 1 \quad \forall m$$

# Coloreo clásico vs. Coloreo equitativo



$$\chi(K_{1,5}) = 2$$



$$\chi_{eq}(K_{1,5}) = 4$$

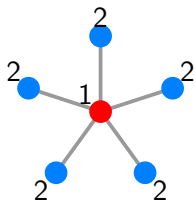
- En todo coloreo, el vértice central conforma una clase de color de tamaño 1
- En col. equitativo, las otras clases de color tienen tamaño a lo sumo 2
- En general:

$$\chi(K_{1,m}) = 2$$

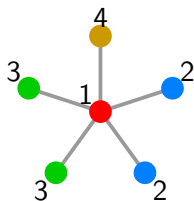
$$\chi_{eq}(K_{1,m}) = \lceil m/2 \rceil + 1 \quad \forall m$$



# Coloreo clásico vs. Coloreo equitativo



$$\chi(K_{1,5}) = 2$$



$$\chi_{eq}(K_{1,5}) = 4$$

- En todo coloreo, el vértice central conforma una clase de color de tamaño 1
- En col. equitativo, las otras clases de color tienen tamaño a lo sumo 2
- En general:

$$\chi(K_{1,m}) = 2$$

$$\chi_{eq}(K_{1,m}) = \lceil m/2 \rceil + 1 \quad \forall m$$

# Coloreo clásico vs. Coloreo equitativo

Estudio  
Poliedral y  
Algoritmo  
B&C para el  
PCEG

Severin

- **Coloreo clásico**  $\rightarrow G$  admite un  $k$ -coloreo  $\forall k \geq \chi(G)$
- **Coloreo equitativo**  $\rightarrow G$  puede no admitir un  $k$ -eqcol tal que  $k \geq \chi_{eq}(G)$

Introducción

Modelos de  
PLE para  
PCEG

Estudio  
poliedral

Algoritmo de  
plano de  
corte

Algoritmo  
B&C

Resultados  
finales

# Coloreo clásico vs. Coloreo equitativo

Estudio  
Poliedral y  
Algoritmo  
B&C para el  
PCEG

Severin

- Coloreo clásico  $\rightarrow G$  admite un  $k$ -coloreo  $\forall k \geq \chi(G)$
- Coloreo equitativo  $\rightarrow G$  puede no admitir un  $k$ -eqcol tal que  $k \geq \chi_{eq}(G)$

Introducción

Modelos de  
PLE para  
PCEG

Estudio  
poliedral

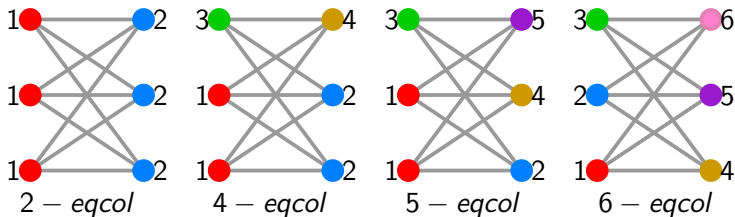
Algoritmo de  
plano de  
corte

Algoritmo  
B&C

Resultados  
finales

# Coloreo clásico vs. Coloreo equitativo

- Coloreo clásico  $\rightarrow G$  admite un  $k$ -coloreo  $\forall k \geq \chi(G)$
- Coloreo equitativo  $\rightarrow G$  puede no admitir un  $k$ -eqcol tal que  $k \geq \chi_{eq}(G)$



$\Rightarrow K_{3,3}$  no admite un 3-eqcol

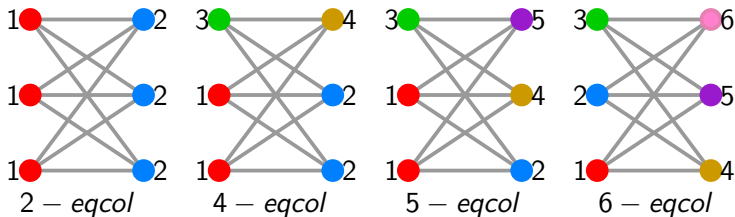
Conjunto de "saltos"

$$\mathcal{S}(G) = \{k \geq \chi_{eq}(G) : \nexists k\text{-eqcol en } G\}.$$

- Ejemplo:  $\mathcal{S}(K_{3,3}) = \{3\}$

# Coloreo clásico vs. Coloreo equitativo

- Coloreo clásico  $\rightarrow G$  admite un  $k$ -coloreo  $\forall k \geq \chi(G)$
- Coloreo equitativo  $\rightarrow G$  puede no admitir un  $k$ -eqcol tal que  $k \geq \chi_{eq}(G)$



$\Rightarrow K_{3,3}$  no admite un 3-eqcol

Conjunto de "saltos"

$$\mathcal{S}(G) = \{k \geq \chi_{eq}(G) : \nexists k\text{-eqcol en } G\}.$$

- Ejemplo:  $\mathcal{S}(K_{3,3}) = \{3\}$

# Coloreo clásico vs. Coloreo equitativo

Estudio  
Poliedral y  
Algoritmo  
B&C para el  
PCEG

Severin

- Coloreo clásico  $\rightarrow \chi(G') \leq \chi(G) \quad \forall G' \subset G$

Introducción

Modelos de  
PLE para  
PCEG

Estudio  
poliedral

Algoritmo de  
plano de  
corte

Algoritmo  
B&C

Resultados  
finales

# Coloreo clásico vs. Coloreo equitativo

Estudio  
Poliedral y  
Algoritmo  
B&C para el  
PCEG

Severin

Introducción

Modelos de  
PLE para  
PCEG

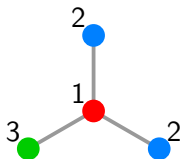
Estudio  
poliedral

Algoritmo de  
plano de  
corte

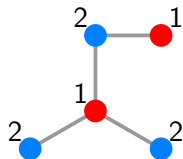
Algoritmo  
B&C

Resultados  
finales

- Coloreo clásico  $\rightarrow \chi(G') \leq \chi(G) \quad \forall G' \subset G$
- Coloreo equitativo  $\rightarrow \chi_{eq}(G')$  puede ser mayor a  $\chi_{eq}(G)$



$$\chi_{eq}(G') = 3$$



$$\chi_{eq}(G) = 2$$

# Coloreo clásico vs. Coloreo equitativo

Estudio  
Poliedral y  
Algoritmo  
B&C para el  
PCEG  
Severin

- Coloreo clásico  $\rightarrow$  Si  $G_1, G_2, \dots, G_m$  son las componentes conexas de  $G$  entonces

$$\chi(G) = \text{máx}\{\chi(G_1), \chi(G_2), \dots, \chi(G_m)\}$$

Introducción

Modelos de  
PLE para  
PCEG

Estudio  
poliedral

Algoritmo de  
plano de  
corte

Algoritmo  
B&C

Resultados  
finales



# Coloreo clásico vs. Coloreo equitativo

Estudio  
Poliedral y  
Algoritmo  
B&C para el  
PCEG  
Severin

Introducción

Modelos de  
PLE para  
PCEG

Estudio  
poliedral

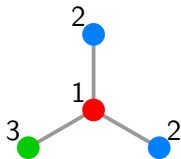
Algoritmo de  
plano de  
corte

Algoritmo  
B&C

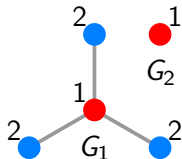
Resultados  
finales

- Coloreo clásico  $\rightarrow$  Si  $G_1, G_2, \dots, G_m$  son las componentes conexas de  $G$  entonces

$$\chi(G) = \max\{\chi(G_1), \chi(G_2), \dots, \chi(G_m)\}$$



$$\chi_{eq}(G_1) = 3$$



$$\chi_{eq}(G) = 2$$

- Coloreo equitativo  $\rightarrow$  propiedad no se verifica  
 $\Rightarrow$  no podemos restringirnos a grafos conexos

# Coloreo clásico vs. Coloreo equitativo

Estudio  
Poliedral y  
Algoritmo  
B&C para el  
PCEG  
Severin

Introducción

Modelos de  
PLE para  
PCEG

Estudio  
poliedral

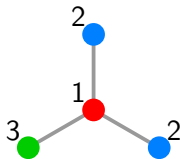
Algoritmo de  
plano de  
corte

Algoritmo  
B&C

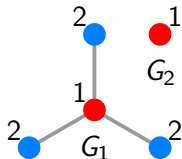
Resultados  
finales

- Coloreo clásico  $\rightarrow$  Si  $G_1, G_2, \dots, G_m$  son las componentes conexas de  $G$  entonces

$$\chi(G) = \max\{\chi(G_1), \chi(G_2), \dots, \chi(G_m)\}$$



$$\chi_{eq}(G_1) = 3$$



$$\chi_{eq}(G) = 2$$

- Coloreo equitativo  $\rightarrow$  propiedad no se verifica  
 $\rightarrow$  no podemos restringirnos a grafos conexos

## ¿Existe algún interés práctico en resolver el PCEG?

- Asignación de aulas a asignaturas  
[Kubale & Furmańczyk 2005]
- Recolección de residuos [Tucker 1973]
- Esquemas de distribución paralela de datos en memoria  
[Das, Finocchi & Petreschi 2006]
- Derivación de cotas Chernoff-Hoeffding en suma de variables aleatorias [Pemmaraju 2001]

¿Existe algún interés práctico en resolver el PCEG?

- Asignación de aulas a asignaturas  
[Kubale & Furmańczyk 2005]
- Recolección de residuos [Tucker 1973]
- Esquemas de distribución paralela de datos en memoria  
[Das, Finocchi & Petreschi 2006]
- Derivación de cotas Chernoff-Hoeffding en suma de  
variables aleatorias [Pemmaraju 2001]

## *Recolección de residuos:*

- Rutas de recolección previamente establecidas

Rutas  $\longrightarrow$  Vértices

- Dos rutas que cubren parcialmente un mismo tramo no pueden ser recorridas el mismo día

Tramos en común  $\longrightarrow$  Aristas

- Hay que asignar un día a cada ruta

Días  $\longrightarrow$  Colores

- Se deben recorrer cantidad similar de rutas cada día

☞ Restricción de Equidad

$$\chi_{eq}(G) = \text{Cant. mínima de días necesarios}$$

## *Recolección de residuos:*

- Rutas de recolección previamente establecidas

Rutas  $\rightarrow$  Vértices

- Dos rutas que cubren parcialmente un mismo tramo no pueden ser recorridas el mismo día

Tramos en común  $\rightarrow$  Aristas

- Hay que asignar un día a cada ruta

Días  $\rightarrow$  Colores

- Se deben recorrer cantidad similar de rutas cada día

$\Rightarrow$  Restricción de Equidad

$$\chi_{eq}(G) = \text{Cant. mínima de días necesarios}$$

## *Recolección de residuos:*

- Rutas de recolección previamente establecidas

Rutas  $\longrightarrow$  Vértices

- Dos rutas que cubren parcialmente un mismo tramo no pueden ser recorridas el mismo día

Tramos en común  $\longrightarrow$  Aristas

- Hay que asignar un día a cada ruta

Días  $\longrightarrow$  Colores

- Se deben recorrer cantidad similar de rutas cada día

☞ Restricción de Equidad

$\chi_{eq}(G) = \text{Cant. mínima de días necesarios}$

## *Recolección de residuos:*

- Rutas de recolección previamente establecidas

Rutas  $\longrightarrow$  Vértices

- Dos rutas que cubren parcialmente un mismo tramo no pueden ser recorridas el mismo día

Tramos en común  $\longrightarrow$  Aristas

- Hay que asignar un día a cada ruta

Días  $\longrightarrow$  Colores

- Se deben recorrer cantidad similar de rutas cada día

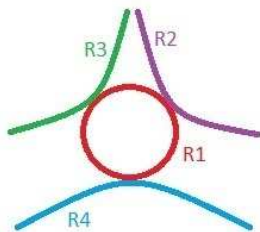
 Restricción de Equidad

$$\chi_{eq}(G) = \text{Cant. mínima de días necesarios}$$

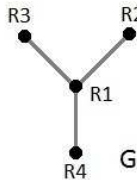


# Aplicaciones del PCEG

## *Recolección de residuos:*



Rutas



Grafo

Estudio  
Poliedral y  
Algoritmo  
B&C para el  
PCEG

Severin

Introducción

Modelos de  
PLE para  
PCEG

Estudio  
poliedral

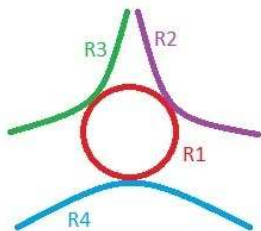
Algoritmo de  
plano de  
corte

Algoritmo  
B&C

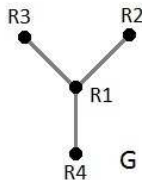
Resultados  
finales

# Aplicaciones del PCEG

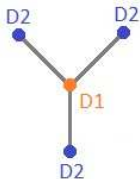
## *Recolección de residuos:*



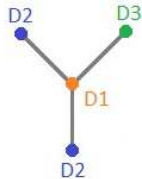
Rutas



Grafo



No equitativo



Equitativo

## Aplicaciones reales → Instancias de gran tamaño

El PCEG es NP-difícil [Furmańczyk & Kubale 2005]

- *Algoritmos heurísticos*: ☞ tiempo razonable  
☞ no garantiza optimalidad
- *Algoritmos exactos*: ☞ solución óptima  
☞ tiempo de búsqueda puede ser muy grande
  - *Alg. B&C*: Aprovechan estructura poliedral modelo PLE  
☞ buena herramienta para lidiar con problemas NP-difícil
    - *Concorde*, algoritmo B&C para el TSP (instancia con 85900 ciudades) [Applegate, Bixby, Chvátal & Cook 2006]
    - Algoritmo B&C para el PCG [Méndez-Díaz & Zabala 2005]

**Objetivo:** Diseñar un algoritmo B&C competitivo para el PCEG

☞ Se requiere formular el problema con un modelo de PLE

Aplicaciones reales → Instancias de gran tamaño

El PCEG es NP-difícil [Furmanczyk & Kubale 2005]

- *Algoritmos heurísticos*:
  - ☞ tiempo razonable
  - ☞ no garantiza optimalidad
- *Algoritmos exactos*:
  - ☞ solución óptima
  - ☞ tiempo de búsqueda puede ser muy grande
- *Alg. B&C*: Aprovechan estructura poliedral modelo PLE
  - ☞ buena herramienta para lidiar con problemas NP-difícil
  - *Concorde*, algoritmo B&C para el TSP (instancia con 85900 ciudades) [Applegate, Bixby, Chvátal & Cook 2006]
  - Algoritmo B&C para el PCG [Méndez-Díaz & Zabala 2005]

**Objetivo:** Diseñar un algoritmo B&C competitivo para el PCEG

☞ Se requiere formular el problema con un modelo de PLE

Aplicaciones reales → Instancias de gran tamaño

El PCEG es NP-difícil [Furmańczyk & Kubale 2005]

- *Algoritmos heurísticos*: ➡ tiempo razonable  
➡ no garantiza optimalidad
- *Algoritmos exactos*: ➡ solución óptima  
➡ tiempo de búsqueda puede ser muy grande
  - *Alg. B&C*: Aprovechan estructura poliedral modelo PLE  
➡ buena herramienta para lidiar con problemas NP-difícil
    - *Concorde*, algoritmo B&C para el TSP (instancia con 85900 ciudades) [Applegate, Bixby, Chvátal & Cook 2006]
    - Algoritmo B&C para el PCG [Méndez-Díaz & Zabala 2005]

**Objetivo:** Diseñar un algoritmo B&C competitivo para el PCEG

➡ Se requiere formular el problema con un modelo de PLE

Aplicaciones reales → Instancias de gran tamaño

El PCEG es NP-difícil [Furmańczyk & Kubale 2005]

- *Algoritmos heurísticos*: ➡ tiempo razonable  
➡ no garantiza optimalidad
- *Algoritmos exactos*: ➡ solución óptima  
➡ tiempo de búsqueda puede ser muy grande
  - *Alg. B&C*: Aprovechan estructura poliedral modelo PLE  
➡ buena herramienta para lidiar con problemas NP-difícil
    - *Concorde*, algoritmo B&C para el TSP (instancia con 85900 ciudades) [Applegate, Bixby, Chvátal & Cook 2006]
    - Algoritmo B&C para el PCG [Méndez-Díaz & Zabala 2005]

**Objetivo:** Diseñar un algoritmo B&C competitivo para el PCEG

➡ Se requiere formular el problema con un modelo de PLE

Aplicaciones reales  $\rightarrow$  Instancias de gran tamaño

El PCEG es NP-difícil [Furmańczyk & Kubale 2005]

- *Algoritmos heurísticos*:  $\rightarrow$  tiempo razonable  
 $\rightarrow$  no garantiza optimalidad
- *Algoritmos exactos*:  $\rightarrow$  solución óptima  
 $\rightarrow$  tiempo de búsqueda puede ser muy grande
- *Alg. B&C*: Aprovechan estructura poliedral modelo PLE  
 $\rightarrow$  buena herramienta para lidiar con problemas NP-difícil
  - *Concorde*, algoritmo B&C para el TSP (instancia con 85900 ciudades) [Applegate, Bixby, Chvátal & Cook 2006]
  - Algoritmo B&C para el PCG [Méndez-Díaz & Zabala 2005]

**Objetivo:** Diseñar un algoritmo B&C competitivo para el PCEG

$\rightarrow$  Se requiere formular el problema con un modelo de PLE

Aplicaciones reales → Instancias de gran tamaño

El PCEG es NP-difícil [Furmańczyk & Kubale 2005]

- *Algoritmos heurísticos*: ➡ tiempo razonable  
➡ no garantiza optimalidad
- *Algoritmos exactos*: ➡ solución óptima  
➡ tiempo de búsqueda puede ser muy grande
  - *Alg. B&C*: Aprovechan estructura poliedral modelo PLE  
➡ buena herramienta para lidiar con problemas NP-difícil
    - *Concorde*, algoritmo B&C para el TSP (instancia con 85900 ciudades) [Applegate, Bixby, Chvátal & Cook 2006]
    - Algoritmo B&C para el PCG [Méndez-Díaz & Zabala 2005]

**Objetivo:** Diseñar un algoritmo B&C competitivo para el PCEG

➡ Se requiere formular el problema con un modelo de PLE



Aplicaciones reales → Instancias de gran tamaño

El PCEG es NP-difícil [Furmańczyk & Kubale 2005]

- *Algoritmos heurísticos*: ➡ tiempo razonable  
➡ no garantiza optimalidad
- *Algoritmos exactos*: ➡ solución óptima  
➡ tiempo de búsqueda puede ser muy grande
  - *Alg. B&C*: Aprovechan estructura poliedral modelo PLE  
➡ buena herramienta para lidiar con problemas NP-difícil
    - *Concorde*, algoritmo B&C para el TSP (instancia con 85900 ciudades) [Applegate, Bixby, Chvátal & Cook 2006]
    - Algoritmo B&C para el PCG [Méndez-Díaz & Zabala 2005]

**Objetivo:** Diseñar un algoritmo B&C competitivo para el PCEG

➡ Se requiere formular el problema con un modelo de PLE

Aplicaciones reales → Instancias de gran tamaño

El PCEG es NP-difícil [Furmańczyk & Kubale 2005]

- *Algoritmos heurísticos*: ➡ tiempo razonable  
➡ no garantiza optimalidad
- *Algoritmos exactos*: ➡ solución óptima  
➡ tiempo de búsqueda puede ser muy grande
- *Alg. B&C*: Aprovechan estructura poliedral modelo PLE  
➡ buena herramienta para lidiar con problemas NP-difícil
  - *Concorde*, algoritmo B&C para el TSP (instancia con 85900 ciudades) [Applegate, Bixby, Chvátal & Cook 2006]
  - Algoritmo B&C para el PCG [Méndez-Díaz & Zabala 2005]

**Objetivo:** Diseñar un algoritmo B&C competitivo para el PCEG

➡ Se requiere formular el problema con un modelo de PLE

# Formulación para el Problema de Coloreo Clásico

Estudio  
Poliedral y  
Algoritmo  
B&C para el  
PCEG

Severin

Introducción

Modelos de  
PLE para  
PCEG

Estudio  
poliedral

Algoritmo de  
plano de  
corte

Algoritmo  
B&C

Resultados  
finales

[Méndez-Díaz & Zabala 2005]

$$x_{vj} = \begin{cases} 1 & \text{color } j \text{ asignado a } v, \\ 0 & \text{si no,} \end{cases} \quad w_j = \begin{cases} 1 & x_{vj} = 1 \text{ para algún } v, \\ 0 & \text{si no.} \end{cases}$$

$(x, w)$  coloreo  $\leftrightarrow$   $(x, w)$  binario tal que :

$$\sum_{j=1}^n x_{vj} = 1, \quad \forall v \in V$$

$$x_{uj} + x_{vj} \leq w_j, \quad \forall uv \in E, j = 1, \dots, n$$

$$w_{j+1} \leq w_j, \quad \forall j = 1, \dots, n$$

- $\chi(G) = \min\{\sum_{j=1}^n w_j : (x, w) \text{ coloreo}\}$

# Formulación para el Problema de Coloreo Clásico

[Méndez-Díaz & Zabala 2005]

$$x_{vj} = \begin{cases} 1 & \text{color } j \text{ asignado a } v, \\ 0 & \text{si no,} \end{cases} \quad w_j = \begin{cases} 1 & \text{\(x_{vj} = 1\ para algún } v, \\ 0 & \text{si no.} \end{cases}$$

$(x, w)$  coloreo  $\leftrightarrow$   $(x, w)$  binario tal que :

$$\sum_{j=1}^n x_{vj} = 1, \quad \forall v \in V$$

$$x_{uj} + x_{vj} \leq w_j, \quad \forall uv \in E, j = 1, \dots, n$$

$$w_{j+1} \leq w_j, \quad \forall j = 1, \dots, n$$

- $\chi(G) = \min\{\sum_{j=1}^n w_j : (x, w) \text{ coloreo}\}$

# Formulación para el Problema de Coloreo Clásico

[Méndez-Díaz & Zabala 2005]

$$x_{vj} = \begin{cases} 1 & \text{color } j \text{ asignado a } v, \\ 0 & \text{si no,} \end{cases} \quad w_j = \begin{cases} 1 & \text{\(x_{vj} = 1\) para algún } v, \\ 0 & \text{si no.} \end{cases}$$

$(x, w)$  *coloreo*  $\leftrightarrow$   $(x, w)$  *binario tal que* :

$$\sum_{j=1}^n x_{vj} = 1, \quad \forall v \in V$$

$$x_{uj} + x_{vj} \leq w_j, \quad \forall uv \in E, j = 1, \dots, n$$

$$w_{j+1} \leq w_j, \quad \forall j = 1, \dots, n$$

- $\chi(G) = \min\{\sum_{j=1}^n w_j : (x, w) \text{ coloreo}\}$

# Formulación para el Problema de Coloreo Clásico

[Méndez-Díaz & Zabala 2005]

$$x_{vj} = \begin{cases} 1 & \text{color } j \text{ asignado a } v, \\ 0 & \text{si no,} \end{cases} \quad w_j = \begin{cases} 1 & \text{\(x_{vj} = 1\) para algún } v, \\ 0 & \text{si no.} \end{cases}$$

$(x, w)$  *coloreo*  $\leftrightarrow$   $(x, w)$  *binario tal que* :

$$\sum_{j=1}^n x_{vj} = 1, \quad \forall v \in V$$

$$x_{uj} + x_{vj} \leq w_j, \quad \forall uv \in E, j = 1, \dots, n$$

$$w_{j+1} \leq w_j, \quad \forall j = 1, \dots, n$$

- $\chi(G) = \min\{\sum_{j=1}^n w_j : (x, w) \text{ coloreo}\}$

# Formulación para el Problema de Coloreo Clásico

Estudio  
Poliedral y  
Algoritmo  
B&C para el  
PCEG

Severin

Introducción

Modelos de  
PLE para  
PCEG

Estudio  
poliedral

Algoritmo de  
plano de  
corte

Algoritmo  
B&C

Resultados  
finales

- En un grafo conexo, todo  $v$  es adyacente a algún  $u$ , luego

$$x_{uj} + x_{vj} \leq w_j, \quad \forall j = 1, \dots, n$$

asegura que  $v$  no puede pintarse con  $j$  cuando  $w_j = 0$

- Si  $v$  es vértice aislado,

$$x_{vj} = 1 \quad w_j = 0$$

es factible

- El modelo se puede extender a grafos no conexos con

$$x_{vj} \leq w_j, \quad \forall v \text{ aislado}, j = 1, \dots, n$$

# Formulación para el Problema de Coloreo Clásico

Estudio  
Poliedral y  
Algoritmo  
B&C para el  
PCEG

Severin

Introducción

Modelos de  
PLE para  
PCEG

Estudio  
poliedral

Algoritmo de  
plano de  
corte

Algoritmo  
B&C

Resultados  
finales

- En un grafo conexo, todo  $v$  es adyacente a algún  $u$ , luego

$$x_{uj} + x_{vj} \leq w_j, \quad \forall j = 1, \dots, n$$

asegura que  $v$  no puede pintarse con  $j$  cuando  $w_j = 0$

- Si  $v$  es vértice aislado,

$$x_{vj} = 1 \quad w_j = 0$$

es factible

- El modelo se puede extender a grafos no conexos con

$$x_{vj} \leq w_j, \quad \forall v \text{ aislado}, j = 1, \dots, n$$



# Formulación para el Problema de Coloreo Clásico

Estudio  
Poliedral y  
Algoritmo  
B&C para el  
PCEG

Severin

Introducción

Modelos de  
PLE para  
PCEG

Estudio  
poliedral

Algoritmo de  
plano de  
corte

Algoritmo  
B&C

Resultados  
finales

- En un grafo conexo, todo  $v$  es adyacente a algún  $u$ , luego

$$x_{uj} + x_{vj} \leq w_j, \quad \forall j = 1, \dots, n$$

asegura que  $v$  no puede pintarse con  $j$  cuando  $w_j = 0$

- Si  $v$  es vértice aislado,

$$x_{vj} = 1 \quad w_j = 0$$

es factible

- El modelo se puede extender a grafos no conexos con

$$x_{vj} \leq w_j, \quad \forall v \text{ aislado}, j = 1, \dots, n$$

# Modelando la equidad I

Estudio  
Poliedral y  
Algoritmo  
B&C para el  
PCEG

Severin

Introducción

Modelos de  
PLE para  
PCEG

Estudio  
poliedral

Algoritmo de  
plano de  
corte

Algoritmo  
B&C

Resultados  
finales

- Sea  $(x, w)$   $k$ -coloreo
  - $(x, w)$   $k$ -eqcol  $\iff \lfloor n/k \rfloor \leq |C_j| \leq \lceil n/k \rceil \quad \forall j = 1, \dots, k$
- Sea  $(x, w)$  coloreo
  - $|C_j| = \sum_{v \in V} x_{vj}$
  - $(x, w)$   $k$ -coloreo  $\iff \begin{cases} w_k - w_{k+1} = 1, \\ w_j - w_{j+1} = 0, \quad \forall j \neq k \end{cases}$

Restricción de equidad:

$$\sum_{v \in V} x_{vj} \geq \sum_{k=j}^n \left\lfloor \frac{n}{k} \right\rfloor (w_k - w_{k+1}), \quad \forall j = 1, \dots, n$$

$$\sum_{v \in V} x_{vj} \leq \sum_{k=j}^n \left\lceil \frac{n}{k} \right\rceil (w_k - w_{k+1}), \quad \forall j = 1, \dots, n$$

# Modelando la equidad I

Estudio  
Poliedral y  
Algoritmo  
B&C para el  
PCEG

Severin

Introducción

Modelos de  
PLE para  
PCEG

Estudio  
poliedral

Algoritmo de  
plano de  
corte

Algoritmo  
B&C

Resultados  
finales

- Sea  $(x, w)$   $k$ -coloreo
  - $(x, w)$   $k$ -eqcol  $\iff \lfloor n/k \rfloor \leq |C_j| \leq \lceil n/k \rceil \quad \forall j = 1, \dots, k$
- Sea  $(x, w)$  coloreo
  - $|C_j| = \sum_{v \in V} x_{vj}$
  - $(x, w)$   $k$ -coloreo  $\iff \begin{cases} w_k - w_{k+1} = 1, \\ w_j - w_{j+1} = 0, \quad \forall j \neq k \end{cases}$

Restricción de equidad:

$$\sum_{v \in V} x_{vj} \geq \sum_{k=j}^n \left\lfloor \frac{n}{k} \right\rfloor (w_k - w_{k+1}), \quad \forall j = 1, \dots, n$$

$$\sum_{v \in V} x_{vj} \leq \sum_{k=j}^n \left\lceil \frac{n}{k} \right\rceil (w_k - w_{k+1}), \quad \forall j = 1, \dots, n$$

# Modelando la equidad I

Estudio  
Poliedral y  
Algoritmo  
B&C para el  
PCEG

Severin

Introducción

Modelos de  
PLE para  
PCEG

Estudio  
poliedral

Algoritmo de  
plano de  
corte

Algoritmo  
B&C

Resultados  
finales

- Sea  $(x, w)$   $k$ -coloreo
  - $(x, w)$   $k$ -eqcol  $\iff \lfloor n/k \rfloor \leq |C_j| \leq \lceil n/k \rceil \quad \forall j = 1, \dots, k$
- Sea  $(x, w)$  coloreo
  - $|C_j| = \sum_{v \in V} x_{vj}$
  - $(x, w)$   $k$ -coloreo  $\iff \begin{cases} w_k - w_{k+1} = 1, \\ w_j - w_{j+1} = 0, \quad \forall j \neq k \end{cases}$

Restricción de equidad:

$$\sum_{v \in V} x_{vj} \geq \sum_{k=j}^n \left\lfloor \frac{n}{k} \right\rfloor (w_k - w_{k+1}), \quad \forall j = 1, \dots, n$$

$$\sum_{v \in V} x_{vj} \leq \sum_{k=j}^n \left\lceil \frac{n}{k} \right\rceil (w_k - w_{k+1}), \quad \forall j = 1, \dots, n$$

# Formulación *ECF* para el PCEG

Estudio  
Poliedral y  
Algoritmo  
B&C para el  
PCEG

Severin

Introducción

Modelos de  
PLE para  
PCEG

Estudio  
poliedral

Algoritmo de  
plano de  
corte

Algoritmo  
B&C

Resultados  
finales

$(x, w)$  *eqcol*  $\leftrightarrow$   $(x, w)$  *binario tal que* :

$$\sum_{j=1}^n x_{vj} = 1, \quad \forall v \in V$$

$$x_{uj} + x_{vj} \leq w_j, \quad \forall uv \in E, j = 1, \dots, n$$

$$w_{j+1} \leq w_j, \quad \forall j = 1, \dots, n$$

$$\sum_{v \in V} x_{vj} \geq \sum_{k=j}^n \left\lfloor \frac{n}{k} \right\rfloor (w_k - w_{k+1}), \quad \forall j = 1, \dots, n$$

$$\sum_{v \in V} x_{vj} \leq \sum_{k=j}^n \left\lceil \frac{n}{k} \right\rceil (w_k - w_{k+1}), \quad \forall j = 1, \dots, n$$

$$x_{vj} \leq w_j, \quad \forall v \text{ aislado}, j = 1, \dots, n$$

- $\chi_{eq}(G) = \min \left\{ \sum_{j=1}^n w_j : (x, w) \text{ eqcol} \right\}$

# Formulación *ECF* para el PCEG

Estudio  
Poliedral y  
Algoritmo  
B&C para el  
PCEG

Severin

Introducción

Modelos de  
PLE para  
PCEG

Estudio  
poliedral

Algoritmo de  
plano de  
corte

Algoritmo  
B&C

Resultados  
finales

$(x, w)$  *eqcol*  $\leftrightarrow$   $(x, w)$  *binario tal que* :

$$\sum_{j=1}^n x_{vj} = 1, \quad \forall v \in V$$

$$x_{uj} + x_{vj} \leq w_j, \quad \forall uv \in E, j = 1, \dots, n$$

$$w_{j+1} \leq w_j, \quad \forall j = 1, \dots, n$$

$$\sum_{v \in V} x_{vj} \geq \sum_{k=j}^n \left\lfloor \frac{n}{k} \right\rfloor (w_k - w_{k+1}), \quad \forall j = 1, \dots, n$$

$$\sum_{v \in V} x_{vj} \leq \sum_{k=j}^n \left\lceil \frac{n}{k} \right\rceil (w_k - w_{k+1}), \quad \forall j = 1, \dots, n$$

$$x_{vj} \leq w_j, \quad \forall v \text{ aislado}, j = 1, \dots, n$$

- $\chi_{eq}(G) = \min \left\{ \sum_{j=1}^n w_j : (x, w) \text{ eqcol} \right\}$

# Formulación $ECF_2$ para el PCEG

Estudio  
Poliedral y  
Algoritmo  
B&C para el  
PCEG  
Severin

$(x, w)$  *eqcol*  $\leftrightarrow$   $(x, w)$  es binario y *satisface* :

$$\sum_{j=1}^n x_{vj} = 1, \quad \forall v \in V$$

$$x_{uj} + x_{vj} \leq w_j, \quad \forall uv \in E, j = 1, \dots, n$$

$$w_{j+1} \leq w_j, \quad \forall j = 1, \dots, n$$

$$\sum_{v \in V} x_{vj} \geq \sum_{k=j}^n \left\lfloor \frac{n}{k} \right\rfloor (w_k - w_{k+1}), \quad \forall j = 1, \dots, n$$

$$\sum_{v \in V} x_{vj} \leq \sum_{k=j}^n \left\lceil \frac{n}{k} \right\rceil (w_k - w_{k+1}), \quad \forall j = 1, \dots, n$$

$$x_{vj} \leq w_j, \quad \forall v \text{ aislado}, j = 1, \dots, n$$

$$\left. \begin{array}{l} x_{vj} = 0, \forall 1 \leq v < j \leq n \\ x_{vj} \leq \sum_{u=j-1}^{v-1} x_{uj-1}, \forall 2 \leq j < v \leq n \end{array} \right\} \text{ [Méndez-Díaz \& Zabala 2005]}$$

☞ elimina soluciones equivalentes

Introducción

Modelos de  
PLE para  
PCEG

Estudio  
poliedral

Algoritmo de  
plano de  
corte

Algoritmo  
B&C

Resultados  
finales

# Formulación $ECF_2$ para el PCEG

Estudio  
Poliedral y  
Algoritmo  
B&C para el  
PCEG  
Severin

Introducción

Modelos de  
PLE para  
PCEG

Estudio  
poliedral

Algoritmo de  
plano de  
corte

Algoritmo  
B&C

Resultados  
finales

$(x, w)$  *eqcol*  $\leftrightarrow$   $(x, w)$  es binario y satisface :

$$\sum_{j=1}^n x_{vj} = 1, \quad \forall v \in V$$

$$x_{uj} + x_{vj} \leq w_j, \quad \forall uv \in E, j = 1, \dots, n$$

$$w_{j+1} \leq w_j, \quad \forall j = 1, \dots, n$$

$$\sum_{v \in V} x_{vj} \geq \sum_{k=j}^n \left\lfloor \frac{n}{k} \right\rfloor (w_k - w_{k+1}), \quad \forall j = 1, \dots, n$$

$$\sum_{v \in V} x_{vj} \leq \sum_{k=j}^n \left\lceil \frac{n}{k} \right\rceil (w_k - w_{k+1}), \quad \forall j = 1, \dots, n$$

$$x_{vj} \leq w_j, \quad \forall v \text{ aislado}, j = 1, \dots, n$$

$$x_{vj} = 0, \forall 1 \leq v < j \leq n \left. \vphantom{x_{vj}} \right\} [Méndez-Díaz \& Zabala 2005]$$
$$x_{vj} \leq \sum_{u=j-1}^{v-1} x_{uj-1}, \forall 2 \leq j < v \leq n$$

👉 elimina soluciones equivalentes



# Modelando la equidad II

Estudio  
Poliedral y  
Algoritmo  
B&C para el  
PCEG

Severin

Introducción

Modelos de  
PLE para  
PCEG

Estudio  
poliedral

Algoritmo de  
plano de  
corte

Algoritmo  
B&C

Resultados  
finales

## Lema

Sea  $(x, w)$   $k$ -coloreo

$$\left. \begin{array}{l} (x, w) \text{ } k\text{-eqcol} \\ |C_1| \geq |C_2| \geq \dots \geq |C_k| \end{array} \right\} \iff |C_j| = \left\lceil \frac{n-j+1}{k} \right\rceil \quad \forall j$$

- Es suficiente considerar  $k$ -eqcols tales que

$$|C_1| \geq |C_2| \geq \dots \geq |C_k|$$

☞ elimina soluciones equivalentes

$$\sum_{v \in V} x_{vj} = \sum_{k=j}^n \left\lceil \frac{n-j+1}{k} \right\rceil (w_k - w_{k+1}), \quad \forall j = 1, \dots, n$$

# Modelando la equidad II

## Lema

Sea  $(x, w)$   $k$ -coloreo

$$\left. \begin{array}{l} (x, w) \text{ } k\text{-eqcol} \\ |C_1| \geq |C_2| \geq \dots \geq |C_k| \end{array} \right\} \iff |C_j| = \left\lceil \frac{n-j+1}{k} \right\rceil \quad \forall j$$

- Es suficiente considerar  $k$ -eqcols tales que

$$|C_1| \geq |C_2| \geq \dots \geq |C_k|$$

☞ elimina soluciones equivalentes

$$\sum_{v \in V} x_{vj} = \sum_{k=j}^n \left\lceil \frac{n-j+1}{k} \right\rceil (w_k - w_{k+1}), \quad \forall j = 1, \dots, n$$

# Modelando la equidad II

## Lema

Sea  $(x, w)$   $k$ -coloreo

$$\left. \begin{array}{l} (x, w) \text{ } k\text{-eqcol} \\ |C_1| \geq |C_2| \geq \dots \geq |C_k| \end{array} \right\} \iff |C_j| = \left\lceil \frac{n-j+1}{k} \right\rceil \quad \forall j$$

- Es suficiente considerar  $k$ -eqcols tales que

$$|C_1| \geq |C_2| \geq \dots \geq |C_k|$$

☞ elimina soluciones equivalentes

$$\sum_{v \in V} x_{vj} = \sum_{k=j}^n \left\lceil \frac{n-j+1}{k} \right\rceil (w_k - w_{k+1}), \quad \forall j = 1, \dots, n$$

# Formulación $ECF_1$ para el PCEG

Estudio  
Poliedral y  
Algoritmo  
B&C para el  
PCEG

Severin

Introducción

Modelos de  
PLE para  
PCEG

Estudio  
poliedral

Algoritmo de  
plano de  
corte

Algoritmo  
B&C

Resultados  
finales

$(x, w)$  *eqcol*  $\leftrightarrow$   $(x, w)$  es binario y satisface :

$$\sum_{j=1}^n x_{vj} = 1, \quad \forall v \in V$$

$$x_{uj} + x_{vj} \leq w_j, \quad \forall uv \in E, j = 1, \dots, n$$

$$w_{j+1} \leq w_j, \quad \forall j = 1, \dots, n$$

$$\sum_{v \in V} x_{vj} = \sum_{k=j}^n \left\lceil \frac{n-j+1}{k} \right\rceil (w_k - w_{k+1}), \quad \forall j = 1, \dots, n$$

$$x_{vj} \leq w_j, \quad \forall v \text{ aislado}, j = 1, \dots, n$$

- $\chi_{eq}(G) = \min \left\{ \sum_{j=1}^n w_j : (x, w) \text{ eqcol} \right\}$

# Performance de las formulaciones

- Branch-and-Bound puro
- 50 instancias aleatorias de 40 vértices
- Tiempo máx: 2 horas

Densidad	Instancias resueltas			Prom. rel. lineal			Prom. tiempo		
	<i>ECF</i>	<i>ECF<sub>1</sub></i>	<i>ECF<sub>2</sub></i>	<i>ECF</i>	<i>ECF<sub>1</sub></i>	<i>ECF<sub>2</sub></i>	<i>ECF</i>	<i>ECF<sub>1</sub></i>	<i>ECF<sub>2</sub></i>
10 %	10	10	10	2	2	<b>2.85</b>	1.1	1.4	<b>0.5</b>
30 %	5	0	<b>10</b>	2	2	<b>3.85</b>	4112	–	<b>162</b>
50 %	0	0	<b>9</b>	2	2	<b>4.63</b>	–	–	<b>1919</b>
70 %	0	0	<b>3</b>	2	2	<b>8.34</b>	–	–	<b>3813</b>
90 %	0	1	<b>5</b>	2	2	<b>17.30</b>	–	6769	<b>821</b>

- *ECF<sub>2</sub>* presenta el mejor comportamiento

# Performance de las formulaciones

Estudio  
Poliedral y  
Algoritmo  
B&C para el  
PCEG

Severin

Introducción

Modelos de  
PLE para  
PCEG

Estudio  
poliedral

Algoritmo de  
plano de  
corte

Algoritmo  
B&C

Resultados  
finales

- Branch-and-Bound puro
- 50 instancias aleatorias de 40 vértices
- Tiempo máx: 2 horas

Densidad	Instancias resueltas			Prom. rel. lineal			Prom. tiempo		
	<i>ECF</i>	<i>ECF<sub>1</sub></i>	<i>ECF<sub>2</sub></i>	<i>ECF</i>	<i>ECF<sub>1</sub></i>	<i>ECF<sub>2</sub></i>	<i>ECF</i>	<i>ECF<sub>1</sub></i>	<i>ECF<sub>2</sub></i>
10 %	10	10	10	2	2	<b>2.85</b>	1.1	1.4	<b>0.5</b>
30 %	5	0	<b>10</b>	2	2	<b>3.85</b>	4112	–	<b>162</b>
50 %	0	0	<b>9</b>	2	2	<b>4.63</b>	–	–	<b>1919</b>
70 %	0	0	<b>3</b>	2	2	<b>8.34</b>	–	–	<b>3813</b>
90 %	0	1	<b>5</b>	2	2	<b>17.30</b>	–	6769	<b>821</b>

- *ECF<sub>2</sub>* presenta el mejor comportamiento

# Dificultades de $ECF_2$

Estudio  
Poliedral y  
Algoritmo  
B&C para el  
PCEG

Severin

Introducción

Modelos de  
PLE para  
PCEG

Estudio  
poliedral

Algoritmo de  
plano de  
corte

Algoritmo  
B&C

Resultados  
finales

# Dificultades de $ECF_2$

Estudio  
Poliedral y  
Algoritmo  
B&C para el  
PCEG

Severin

Introducción

Modelos de  
PLE para  
PCEG

Estudio  
poliedral

Algoritmo de  
plano de  
corte

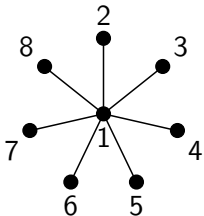
Algoritmo  
B&C

Resultados  
finales

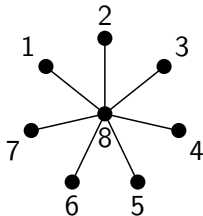
- *Poliedros:*

$\mathcal{ECP}, \mathcal{ECP}_1, \mathcal{ECP}_2 = \text{conv}(\text{soluciones enteras } ECF, ECF_1, ECF_2)$

- Propiedades de  $\mathcal{ECP}_2$  depende del *etiquetado* de sus vértices



$$\dim(\mathcal{ECP}_2) = 23$$



$$\dim(\mathcal{ECP}_2) = 28$$

- Desigualdades válidas de  $\mathcal{ECP}$  también son válidas para  $\mathcal{ECP}_1$  y  $\mathcal{ECP}_2$ , pues

$$\mathcal{ECP} \supset \mathcal{ECP}_1$$

$$\mathcal{ECP} \supset \mathcal{ECP}_2$$

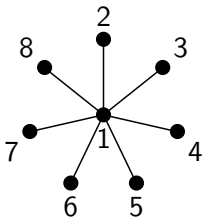


# Dificultades de $ECF_2$

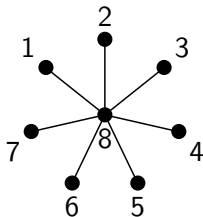
- *Poliedros:*

$\mathcal{ECP}, \mathcal{ECP}_1, \mathcal{ECP}_2 = \text{conv}(\text{soluciones enteras } ECF, ECF_1, ECF_2)$

- Propiedades de  $\mathcal{ECP}_2$  depende del *etiquetado* de sus vértices



$$\dim(\mathcal{ECP}_2) = 23$$



$$\dim(\mathcal{ECP}_2) = 28$$

- Desigualdades válidas de  $\mathcal{ECP}$  también son válidas para  $\mathcal{ECP}_1$  y  $\mathcal{ECP}_2$ , pues

$$\mathcal{ECP} \supset \mathcal{ECP}_1$$

$$\mathcal{ECP} \supset \mathcal{ECP}_2$$

# El poliedro $\mathcal{ECP}$

Estudio  
Poliedral y  
Algoritmo  
B&C para el  
PCEG

Severin

Introducción

Modelos de  
PLE para  
PCEG

Estudio  
poliedral

Algoritmo de  
plano de  
corte

Algoritmo  
B&C

Resultados  
finales

## Dimensión de $\mathcal{ECP}$

$$\dim(\mathcal{ECP}) = n^2 - (\chi_{eq} + |\mathcal{S}| + 1)$$

Sistema minimal de ecuaciones:

$$\sum_{j=1}^n x_{vj} = 1, \quad \forall v \in V$$

$$w_j = 1, \quad \forall j = 1, \dots, \chi_{eq}$$

$$w_j = w_{j+1}, \quad \forall j \in \mathcal{S} \quad \leftarrow \text{ Conj. de saltos}$$

$$\sum_{v \in V} x_{vn} = w_n.$$

# Desigualdades válidas heredadas de $\mathcal{CP}$

Estudio  
Poliedral y  
Algoritmo  
B&C para el  
PCEG  
Severin

Introducción

Modelos de  
PLE para  
PCEG

Estudio  
poliedral

Algoritmo de  
plano de  
corte

Algoritmo  
B&C

Resultados  
finales

- $\mathcal{CP} = \text{conv}(\text{modelo coloreo clásico})$
- $\mathcal{CP} \supset \mathcal{ECP} \rightarrow$  desig. válidas de  $\mathcal{CP}$  también válidas en  $\mathcal{ECP}$   $\Rightarrow$  analizamos su dimensión como caras de  $\mathcal{ECP}$

## Desigualdades Clique [Méndez-Díaz & Zabala 2005]

Sea  $j \leq n - 1$ ,  $Q$  clique maximal de  $G$  tal que  $|Q| \geq 2$ .

$$\sum_{v \in Q} x_{vj} \leq w_j$$

define una **faceta** de  $\mathcal{CP}$ .

# Desigualdades válidas heredadas de $\mathcal{CP}$

Estudio  
Poliedral y  
Algoritmo  
B&C para el  
PCEG

Severin

Introducción

Modelos de  
PLE para  
PCEG

Estudio  
poliedral

Algoritmo de  
plano de  
corte

Algoritmo  
B&C

Resultados  
finales

- $\mathcal{CP} = \text{conv}(\text{modelo coloreo clásico})$
- $\mathcal{CP} \supset \mathcal{ECP} \rightarrow$  desig. válidas de  $\mathcal{CP}$  también válidas en  $\mathcal{ECP}$   $\rightarrow$  analizamos su dimensión como caras de  $\mathcal{ECP}$

Desigualdades Clique [Méndez-Díaz & Zabala 2005]

Sea  $j \leq n - 1$ ,  $Q$  clique maximal de  $G$  tal que  $|Q| \geq 2$ .

$$\sum_{v \in Q} x_{vj} \leq w_j$$

define una **faceta** de  $\mathcal{CP}$ .

# Desigualdades válidas heredadas de $\mathcal{CP}$

Estudio  
Poliedral y  
Algoritmo  
B&C para el  
PCEG

Severin

Introducción

Modelos de  
PLE para  
PCEG

Estudio  
poliedral

Algoritmo de  
plano de  
corte

Algoritmo  
B&C

Resultados  
finales

- $\mathcal{CP} = \text{conv}(\text{modelo coloreo clásico})$
- $\mathcal{CP} \supset \mathcal{ECP} \rightarrow$  desig. válidas de  $\mathcal{CP}$  también válidas en  $\mathcal{ECP}$   $\rightarrow$  analizamos su dimensión como caras de  $\mathcal{ECP}$

## Desigualdades Clique [Méndez-Díaz & Zabala 2005]

Sea  $j \leq n - 1$ ,  $Q$  clique maximal de  $G$  tal que  $|Q| \geq 2$ .

$$\sum_{v \in Q} x_{vj} \leq w_j$$

define una **faceta** de  $\mathcal{CP}$ .

# Desigualdades válidas heredadas de $\mathcal{CP}$

Estudio  
Poliedral y  
Algoritmo  
B&C para el  
PCEG

Severin

Introducción

Modelos de  
PLE para  
PCEG

Estudio  
poliedral

Algoritmo de  
plano de  
corte

Algoritmo  
B&C

Resultados  
finales

- $\mathcal{CP} = \text{conv}(\text{modelo coloreo clásico})$
- $\mathcal{CP} \supset \mathcal{ECP} \rightarrow$  desig. válidas de  $\mathcal{CP}$  también válidas en  $\mathcal{ECP}$   $\rightarrow$  analizamos su dimensión como caras de  $\mathcal{ECP}$

## Desigualdades Clique

Sea  $j \leq n - 1$ ,  $Q$  clique maximal de  $G$  tal que  $|Q| \geq 2$ .

$$\sum_{v \in Q} x_{vj} \leq w_j$$

define una **faceta** de  $\mathcal{ECP}$ .

# Desigualdades válidas heredadas de $\mathcal{CP}$

Estudio  
Poliedral y  
Algoritmo  
B&C para el  
PCEG

Severin

Introducción

Modelos de  
PLE para  
PCEG

Estudio  
poliedral

Algoritmo de  
plano de  
corte

Algoritmo  
B&C

Resultados  
finales

- $\mathcal{CP} = \text{conv}(\text{modelo coloreo clásico})$
- $\mathcal{CP} \supset \mathcal{ECP} \rightarrow$  desig. válidas de  $\mathcal{CP}$  también válidas en  $\mathcal{ECP}$   $\rightarrow$  analizamos su dimensión como caras de  $\mathcal{ECP}$

## Desigualdades Block [Méndez-Díaz & Zabala 2005]

Sea  $v \in V$ ,  $j \leq n - 1$ .

$$\sum_{k=j}^n x_{vk} \leq w_j$$

es **válida** para  $\mathcal{CP}$ . Si  $G$  admite un  $(j - 1)$ -eqcol, entonces define una **faceta** de  $\mathcal{CP}$ .

# Desigualdades válidas heredadas de $\mathcal{CP}$

Estudio  
Poliedral y  
Algoritmo  
B&C para el  
PCEG

Severin

Introducción

Modelos de  
PLE para  
PCEG

Estudio  
poliedral

Algoritmo de  
plano de  
corte

Algoritmo  
B&C

Resultados  
finales

- $\mathcal{CP} = \text{conv}(\text{modelo coloreo clásico})$
- $\mathcal{CP} \supset \mathcal{ECP} \rightarrow$  desig. válidas de  $\mathcal{CP}$  también válidas en  $\mathcal{ECP}$   $\rightarrow$  analizamos su dimensión como caras de  $\mathcal{ECP}$

## Desigualdades Block

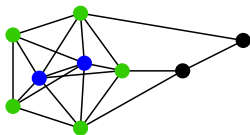
Sea  $v \in V$ ,  $j \leq n - 1$ .

$$\sum_{k=j}^n x_{vk} \leq w_j$$

es **válida** para  $\mathcal{ECP}$ . Si  $G$  admite un  $(j - 1)$ -eqcol, entonces define una **faceta** de  $\mathcal{ECP}$ .



# Desigualdades válidas heredadas de $\mathcal{CP}$



$$j \leq n - 1$$

$$S \subset V \text{ con } \alpha(S) = 2$$

$$Q = \{q : q \in S, S \subset N[q]\}$$

## Desigualdades $(S, Q, j)$ -2-rango

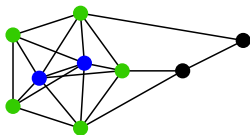
$$\sum_{v \in S \setminus Q} x_{vj} + 2 \sum_{v \in Q} x_{vj} \leq 2w_j$$

es **válida** para  $\mathcal{ECP}$ . Si

- $|Q| \geq 2$
- ninguna componente conexa de  $\overline{G[S \setminus Q]}$  es bipartita
- $\forall v \in V \setminus S, Q \cup \{v\}$  no es una clique

define una **faceta** de  $\mathcal{ECP}$ .

# Desigualdades válidas heredadas de $\mathcal{CP}$



$$j \leq n - 1$$

$$S \subset V \text{ con } \alpha(S) = 2$$

$$Q = \{q : q \in S, S \subset N[q]\}$$

## Desigualdades $(S, Q, j)$ -2-rango

$$\sum_{v \in S \setminus Q} x_{vj} + 2 \sum_{v \in Q} x_{vj} \leq 2w_j$$

es **válida** para  $\mathcal{ECP}$ . Si

- $|Q| \geq 2$
- ninguna componente conexa de  $\overline{G[S \setminus Q]}$  es bipartita
- $\forall v \in V \setminus S, Q \cup \{v\}$  no es una clique

define una **faceta** de  $\mathcal{ECP}$ .

# Nuevas desigualdades válidas de $\mathcal{ECP}$

## Desigualdades $J$ -color

- $J =$  conjunto de colores
- $b_{Jk} =$  máxima cantidad de vértices que pueden colorearse con colores de  $J$  en un  $k$ -eqcol

$$b_{Jk} = \text{máximo valor de } \sum_{j \in J} \sum_{v \in V} x_{vj} \text{ en un } k\text{-eqcol}$$

## Desigualdades $J$ -color

- $J =$  conjunto de colores
- $b_{Jk} =$  máxima cantidad de vértices que pueden colorearse con colores de  $J$  en un  $k$ -eqcol

$$b_{Jk} = \text{máximo valor de } \sum_{j \in J} \sum_{v \in V} x_{vj} \text{ en un } k\text{-eqcol}$$

## Desigualdades $J$ -color

- $J =$  conjunto de colores
- $b_{Jk} =$  máxima cantidad de vértices que pueden colorearse con colores de  $J$  en un  $k$ -eqcol

$$b_{Jk} = \text{máximo valor de } \sum_{j \in J} \sum_{v \in V} x_{vj} \text{ en un } k\text{-eqcol}$$

# Nuevas desigualdades válidas de $\mathcal{ECP}$

Estudio  
Poliedral y  
Algoritmo  
B&C para el  
PCEG

Severin

Introducción

Modelos de  
PLE para  
PCEG

Estudio  
poliedral

Algoritmo de  
plano de  
corte

Algoritmo  
B&C

Resultados  
finales

## Desigualdades $J$ -color

- $J =$  conjunto de colores
- $b_{Jk} =$  máxima cantidad de vértices que pueden colorearse con colores de  $J$  en un  $k$ -eqcol

Entonces

$$\sum_{j \in J} \sum_{v \in V} x_{vj} \leq \sum_{k=1}^n b_{Jk} (w_k - w_{k+1})$$

es **válida** para  $\mathcal{ECP}$ .

Si existe un matching  $M$  del complemento de  $G$  tal que  $2 \leq |M| \leq \lfloor \frac{n-1}{2} \rfloor$ ,  $|J| = 2|M| - r - 1$  con  $r \in \{1, 2\}$  y  $J$  contiene todos los colores mayores que  $n - |M|$  entonces la desigualdad  $J$ -color define **faceta** de  $\mathcal{ECP}$ .

- $b_{Jk} = |J \cap \{1, \dots, k\}| \lfloor \frac{n}{k} \rfloor + \min\{|J \cap \{1, \dots, k\}|, n - k \lfloor \frac{n}{k} \rfloor\}$   
☞ fácil de calcular

## Desigualdades $J$ -color

- $J =$  conjunto de colores
- $b_{Jk} =$  máxima cantidad de vértices que pueden colorearse con colores de  $J$  en un  $k$ -eqcol

Entonces

$$\sum_{j \in J} \sum_{v \in V} x_{vj} \leq \sum_{k=1}^n b_{Jk} (w_k - w_{k+1})$$

es **válida** para  $\mathcal{ECP}$ .

Si existe un matching  $M$  del complemento de  $G$  tal que  $2 \leq |M| \leq \lfloor \frac{n-1}{2} \rfloor$ ,  $|J| = 2|M| - r - 1$  con  $r \in \{1, 2\}$  y  $J$  contiene todos los colores mayores que  $n - |M|$  entonces la desigualdad  $J$ -color define **faceta** de  $\mathcal{ECP}$ .

- $b_{Jk} = |J \cap \{1, \dots, k\}| \lfloor \frac{n}{k} \rfloor + \min\{|J \cap \{1, \dots, k\}|, n - k \lfloor \frac{n}{k} \rfloor\}$   
☞ fácil de calcular

## Desigualdades $J$ -color

- $J =$  conjunto de colores
- $b_{Jk} =$  máxima cantidad de vértices que pueden colorearse con colores de  $J$  en un  $k$ -eqcol

Entonces

$$\sum_{j \in J} \sum_{v \in V} x_{vj} \leq \sum_{k=1}^n b_{Jk} (w_k - w_{k+1})$$

es **válida** para  $\mathcal{ECP}$ .

Si existe un matching  $M$  del complemento de  $G$  tal que  $2 \leq |M| \leq \lfloor \frac{n-1}{2} \rfloor$ ,  $|J| = 2|M| - r - 1$  con  $r \in \{1, 2\}$  y  $J$  contiene todos los colores mayores que  $n - |M|$  entonces la desigualdad  $J$ -color define **faceta** de  $\mathcal{ECP}$ .

- $b_{Jk} = |J \cap \{1, \dots, k\}| \lfloor \frac{n}{k} \rfloor + \text{mín}\{|J \cap \{1, \dots, k\}|, n - k \lfloor \frac{n}{k} \rfloor\}$   
    👉 fácil de calcular



# Nuevas desigualdades válidas de $\mathcal{ECP}$

Estudio  
Poliedral y  
Algoritmo  
B&C para el  
PCEG

Severin

Introducción

Modelos de  
PLE para  
PCEG

Estudio  
poliedral

Algoritmo de  
plano de  
corte

Algoritmo  
B&C

Resultados  
finales

## Desigualdades $(S, J)$ -color

$S \subset V$ ,  $J \subset \{1, \dots, n-2\}$  tales que  $|S| = |J| + 1$

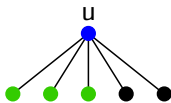
$$\sum_{j \in J} \sum_{v \in S} x_{vj} + \sum_{v \in V} x_{vn-1} \leq \sum_{k=1}^n b_{SJk} (w_k - w_{k+1})$$

donde  $d_{Jk} = |J \cap \{1, \dots, k\}|$  y

$$b_{SJk} = \begin{cases} \min\{|S|, |J|\alpha(S), d_{Jk} \lfloor \frac{n}{k} \rfloor\} + \min\{d_{Jk}, n - k \lfloor \frac{n}{k} \rfloor\}, & \text{si } k \leq n-2 \\ |S| + 1, & \text{si } k = n-1 \\ |S|, & \text{si } k = n \end{cases}$$

👉 similar a  $J$ -color: considera subconjunto  $S$  en vez de todo  $V$

# Nuevas desigualdades válidas de $\mathcal{ECP}$



$$j \leq n - 1$$

$$u \in V$$

$S \subset N(u)$  y no es una clique

$\gamma_{ks}$  = máx. cant. de vértices de  $S$  que pueden pintarse con color  $j$  en un  $k$ -eqcol

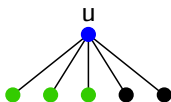
## Desigualdades $(u, j, S)$ -subvecindad

$$\gamma_{js}x_{uj} + \sum_{v \in S} x_{vj} + \sum_{k=j+1}^n (\gamma_{js} - \gamma_{ks})x_{uk} \leq \gamma_{js}w_j$$

es **válida** para  $\mathcal{ECP}$ .

- $(x, w)$   $k$ -eqcol
  - $k < j \rightarrow w_j = 0 \rightarrow$  ambos miembros en cero  $\checkmark$
  - $k \geq j \rightarrow w_j = 1$ 
    - $x_{uj} = 1 \rightarrow$  ambos miembros valen  $\gamma_{js}$   $\checkmark$
    - $x_{ut} = 1, t < j \rightarrow \sum_{v \in S} x_{vj} \leq \gamma_{js}$   $\checkmark$
    - $x_{ut} = 1, t > j \rightarrow k \geq t \rightarrow \sum_{v \in S} x_{vj} \leq \gamma_{ts}$   $\checkmark$

# Nuevas desigualdades válidas de $\mathcal{ECP}$



$$j \leq n - 1$$

$$u \in V$$

$S \subset N(u)$  y no es una clique

$\gamma_{ks}$  = máx. cant. de vértices de  $S$  que pueden pintarse con color  $j$  en un  $k$ -eqcol

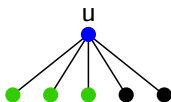
## Desigualdades $(u, j, S)$ -subvecindad

$$\gamma_{js}x_{uj} + \sum_{v \in S} x_{vj} + \sum_{k=j+1}^n (\gamma_{js} - \gamma_{ks})x_{uk} \leq \gamma_{js}w_j$$

es **válida** para  $\mathcal{ECP}$ .

- $(x, w)$   $k$ -eqcol
  - $k < j \rightarrow w_j = 0 \rightarrow$  ambos miembros en cero  $\checkmark$
  - $k \geq j \rightarrow w_j = 1$ 
    - $x_{uj} = 1 \rightarrow$  ambos miembros valen  $\gamma_{js}$   $\checkmark$
    - $x_{ut} = 1, t < j \rightarrow \sum_{v \in S} x_{vj} \leq \gamma_{js}$   $\checkmark$
    - $x_{ut} = 1, t > j \rightarrow k \geq t \rightarrow \sum_{v \in S} x_{vj} \leq \gamma_{ts}$   $\checkmark$

# Nuevas desigualdades válidas de $\mathcal{ECP}$



$$j \leq n - 1$$

$$u \in V$$

$S \subset N(u)$  y no es una clique

$\gamma_{ks}$  = máx. cant. de vértices de  $S$  que pueden pintarse con color  $j$  en un  $k$ -eqcol

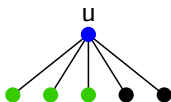
## Desigualdades $(u, j, S)$ -subvecindad

$$\gamma_{js}x_{uj} + \sum_{v \in S} x_{vj} + \sum_{k=j+1}^n (\gamma_{js} - \gamma_{ks})x_{uk} \leq \gamma_{js}w_j$$

es **válida** para  $\mathcal{ECP}$ .

- $(x, w)$   $k$ -eqcol
  - $k < j \rightarrow w_j = 0 \rightarrow$  ambos miembros en cero  $\checkmark$
  - $k \geq j \rightarrow w_j = 1$ 
    - $x_{uj} = 1 \rightarrow$  ambos miembros valen  $\gamma_{js}$   $\checkmark$
    - $x_{ut} = 1, t < j \rightarrow \sum_{v \in S} x_{vj} \leq \gamma_{js}$   $\checkmark$
    - $x_{ut} = 1, t > j \rightarrow k \geq t \rightarrow \sum_{v \in S} x_{vj} \leq \gamma_{ts}$   $\checkmark$

# Nuevas desigualdades válidas de $\mathcal{ECP}$



$$j \leq n - 1$$

$$u \in V$$

$S \subset N(u)$  y no es una clique

$\gamma_{kS}$  = máx. cant. de vértices de  $S$  que pueden pintarse con color  $j$  en un  $k$ -eqcol

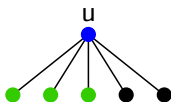
## Desigualdades $(u, j, S)$ -subvecindad

$$\gamma_{jS} x_{uj} + \sum_{v \in S} x_{vj} + \sum_{k=j+1}^n (\gamma_{jS} - \gamma_{kS}) x_{uk} \leq \gamma_{jS} w_j$$

es **válida** para  $\mathcal{ECP}$ .

- $(x, w)$   $k$ -eqcol
  - $k < j \rightarrow w_j = 0 \rightarrow$  ambos miembros en cero  $\checkmark$
  - $k \geq j \rightarrow w_j = 1$ 
    - $x_{uj} = 1 \rightarrow$  ambos miembros valen  $\gamma_{jS}$   $\checkmark$
    - $x_{ut} = 1, t < j \rightarrow \sum_{v \in S} x_{vj} \leq \gamma_{jS}$   $\checkmark$
    - $x_{ut} = 1, t > j \rightarrow k \geq t \rightarrow \sum_{v \in S} x_{vj} \leq \gamma_{tS}$   $\checkmark$

# Nuevas desigualdades válidas de $\mathcal{ECP}$



$$j \leq n - 1$$

$$u \in V$$

$S \subset N(u)$  y no es una clique

$\gamma_{kS}$  = máx. cant. de vértices de  $S$  que pueden pintarse con color  $j$  en un  $k$ -eqcol

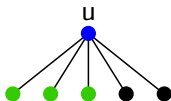
## Desigualdades $(u, j, S)$ -subvecindad

$$\gamma_{jS} x_{uj} + \sum_{v \in S} x_{vj} + \sum_{k=j+1}^n (\gamma_{jS} - \gamma_{kS}) x_{uk} \leq \gamma_{jS} w_j$$

es **válida** para  $\mathcal{ECP}$ .

- $(x, w)$   $k$ -eqcol
  - $k < j \rightarrow w_j = 0 \rightarrow$  ambos miembros en cero  $\checkmark$
  - $k \geq j \rightarrow w_j = 1$ 
    - $x_{uj} = 1 \rightarrow$  ambos miembros valen  $\gamma_{jS}$   $\checkmark$
    - $x_{ut} = 1, t < j \rightarrow \sum_{v \in S} x_{vj} \leq \gamma_{jS}$   $\checkmark$
    - $x_{ut} = 1, t > j \rightarrow k \geq t \rightarrow \sum_{v \in S} x_{vj} \leq \gamma_{tS}$   $\checkmark$

# Nuevas desigualdades válidas de $\mathcal{ECP}$



$$j \leq n - 1$$

$$u \in V$$

$S \subset N(u)$  y no es una clique

$\gamma_{kS}$  = máx. cant. de vértices de  $S$  que pueden pintarse con color  $j$  en un  $k$ -eqcol

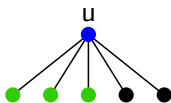
## Desigualdades $(u, j, S)$ -subvecindad

$$\gamma_{jS} x_{uj} + \sum_{v \in S} x_{vj} + \sum_{k=j+1}^n (\gamma_{jS} - \gamma_{kS}) x_{uk} \leq \gamma_{jS} w_j$$

es **válida** para  $\mathcal{ECP}$ .

- $(x, w)$   $k$ -eqcol
  - $k < j \rightarrow w_j = 0 \rightarrow$  ambos miembros en cero  $\checkmark$
  - $k \geq j \rightarrow w_j = 1$ 
    - $x_{uj} = 1 \rightarrow$  ambos miembros valen  $\gamma_{jS}$   $\checkmark$
    - $x_{ut} = 1, t < j \rightarrow \sum_{v \in S} x_{vj} \leq \gamma_{jS}$   $\checkmark$
    - $x_{ut} = 1, t > j \rightarrow k \geq t \rightarrow \sum_{v \in S} x_{vj} \leq \gamma_{tS}$   $\checkmark$

# Nuevas desigualdades válidas de $\mathcal{ECP}$



$$j \leq n - 1$$

$$u \in V$$

$S \subset N(u)$  y no es una clique

$\gamma_{kS}$  = máx. cant. de vértices de  $S$  que pueden pintarse con color  $j$  en un  $k$ -eqcol

## Desigualdades $(u, j, S)$ -subvecindad

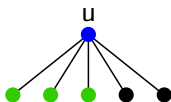
$$\gamma_{jS} x_{uj} + \sum_{v \in S} x_{vj} + \sum_{k=j+1}^n (\gamma_{jS} - \gamma_{kS}) x_{uk} \leq \gamma_{jS} w_j$$

es **válida** para  $\mathcal{ECP}$ .

- $\gamma_{kS} = \min\{\lceil n/\chi_{eq} \rceil, \lceil n/k \rceil, \alpha(S)\}$
- $\tilde{\gamma}_{kN(u)} = \min\{\lceil n/\underline{\chi}_{eq} \rceil, \lceil n/k \rceil, \overline{\alpha(N(u))}\}$  ← versión relajada



# Nuevas desigualdades válidas de $\mathcal{ECP}$



$$j \leq n - 1$$

$$u \in V$$

$S \subset N(u)$  y no es una clique

$\gamma_{kS}$  = máx. cant. de vértices de  $S$  que pueden pintarse con color  $j$  en un  $k$ -eqcol

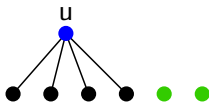
## Desigualdades $(u, j, S)$ -subvecindad

$$\gamma_{jS} x_{uj} + \sum_{v \in S} x_{vj} + \sum_{k=j+1}^n (\gamma_{jS} - \gamma_{kS}) x_{uk} \leq \gamma_{jS} w_j$$

es **válida** para  $\mathcal{ECP}$ .

- $\gamma_{kS} = \min\{\lceil n/\chi_{eq} \rceil, \lceil n/k \rceil, \alpha(S)\}$
- $\tilde{\gamma}_{kN(u)} = \min\{\lceil n/\chi_{eq} \rceil, \lceil n/k \rceil, \overline{\alpha(N(u))}\} \leftarrow$  versión relajada

# Nuevas desigualdades válidas de $\mathcal{ECP}$



$$j \leq \lfloor n/2 \rfloor$$

$u \in V$  tal que  $N(u)$  no es una clique

*Idea:*  $(x, w)$   $j$ -eqcol

$$|C_j| = \sum_{v \in V \setminus N[u]} x_{vj} + x_{uj} \geq \left\lfloor \frac{n}{j} \right\rfloor x_{uj}$$

o equivalentemente

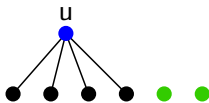
$$\left( \left\lfloor \frac{n}{j} \right\rfloor - 1 \right) x_{uj} - \sum_{v \in V \setminus N[u]} x_{vj} \leq 0$$

Desigualdades  $(u, j)$ -fuera-vecindad

$$\left( \left\lfloor \frac{n}{t_j} \right\rfloor - 1 \right) x_{uj} - \sum_{v \in V \setminus N[u]} x_{vj} + \sum_{k=t_j+1}^n b_{jk} x_{uk} \leq \sum_{k=t_j+1}^n b_{jk} (w_k - w_{k+1})$$

es **válida** para  $\mathcal{ECP}$  ( $t_j = \max\{j, \chi_{eq}\}$  y  $b_{jk} = \lfloor n/t_j \rfloor - \lfloor n/k \rfloor$ )

# Nuevas desigualdades válidas de $\mathcal{ECP}$



$$j \leq \lfloor n/2 \rfloor$$

$u \in V$  tal que  $N(u)$  no es una clique

*Idea:*  $(x, w)$   $j$ -eqcol

$$|C_j| = \sum_{v \in V \setminus N[u]} x_{vj} + x_{uj} \geq \left\lfloor \frac{n}{j} \right\rfloor x_{uj}$$

o equivalentemente

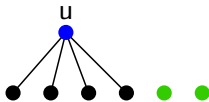
$$\left( \left\lfloor \frac{n}{j} \right\rfloor - 1 \right) x_{uj} - \sum_{v \in V \setminus N[u]} x_{vj} \leq 0$$

Desigualdades  $(u, j)$ -fuera-vecindad

$$\left( \left\lfloor \frac{n}{t_j} \right\rfloor - 1 \right) x_{uj} - \sum_{v \in V \setminus N[u]} x_{vj} + \sum_{k=t_j+1}^n b_{jk} x_{uk} \leq \sum_{k=t_j+1}^n b_{jk} (w_k - w_{k+1})$$

es **válida** para  $\mathcal{ECP}$  ( $t_j = \max\{j, \chi_{eq}\}$  y  $b_{jk} = \lfloor n/t_j \rfloor - \lfloor n/k \rfloor$ )

# Nuevas desigualdades válidas de $\mathcal{ECP}$



$$j \leq \lfloor n/2 \rfloor$$

$u \in V$  tal que  $N(u)$  no es una clique

*Idea:*  $(x, w)$   $j$ -eqcol

$$|C_j| = \sum_{v \in V \setminus N[u]} x_{vj} + x_{uj} \geq \left\lfloor \frac{n}{j} \right\rfloor x_{uj}$$

o equivalentemente

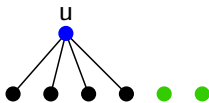
$$\left( \left\lfloor \frac{n}{j} \right\rfloor - 1 \right) x_{uj} - \sum_{v \in V \setminus N[u]} x_{vj} \leq 0$$

Desigualdades  $(u, j)$ -fuera-vecindad

$$\left( \left\lfloor \frac{n}{t_j} \right\rfloor - 1 \right) x_{uj} - \sum_{v \in V \setminus N[u]} x_{vj} + \sum_{k=t_j+1}^n b_{jk} x_{uk} \leq \sum_{k=t_j+1}^n b_{jk} (w_k - w_{k+1})$$

es **válida** para  $\mathcal{ECP}$  ( $t_j = \max\{j, \chi_{eq}\}$  y  $b_{jk} = \lfloor n/t_j \rfloor - \lfloor n/k \rfloor$ )

# Nuevas desigualdades válidas de $\mathcal{ECP}$



$$j \leq \lfloor n/2 \rfloor$$

$u \in V$  tal que  $N(u)$  no es una clique

*Idea:*  $(x, w)$   $j$ -eqcol

$$|C_j| = \sum_{v \in V \setminus N[u]} x_{vj} + x_{uj} \geq \left\lfloor \frac{n}{j} \right\rfloor x_{uj}$$

o equivalentemente

$$\left( \left\lfloor \frac{n}{j} \right\rfloor - 1 \right) x_{uj} - \sum_{v \in V \setminus N[u]} x_{vj} \leq 0$$

Desigualdades  $(u, j)$ -fuera-vecindad

$$\left( \left\lfloor \frac{n}{t_j} \right\rfloor - 1 \right) x_{uj} - \sum_{v \in V \setminus N[u]} x_{vj} + \sum_{k=t_j+1}^n b_{jk} x_{uk} \leq \sum_{k=t_j+1}^n b_{jk} (w_k - w_{k+1})$$

es **válida** para  $\mathcal{ECP}$  ( $t_j = \max\{j, \chi_{eq}\}$  y  $b_{jk} = \lfloor n/t_j \rfloor - \lfloor n/k \rfloor$ )

# Nuevas desigualdades válidas de $\mathcal{ECP}$

Estudio  
Poliedral y  
Algoritmo  
B&C para el  
PCEG

Severin

Introducción

Modelos de  
PLE para  
PCEG

Estudio  
poliedral

Algoritmo de  
plano de  
corte

Algoritmo  
B&C

Resultados  
finales

## Desigualdades $(u, j, k, Q)$ -clique-vecindad

$u \in V$ , clique  $Q$  de  $G$  tal que  $Q \cap N[u] = \emptyset$ , números  $j, k$  tales que

$$k = \left\lceil \frac{\left\lfloor \frac{n}{k-1} \right\rfloor - 1}{k-1} \right\rceil, \quad 3 \leq k \leq \alpha(N(u)) + 1 \text{ y } 1 \leq j \leq \left\lfloor \frac{n}{k-1} \right\rfloor - 1$$

$$(k-1)x_{uj} + \sum_{l=\lceil \frac{n}{k-1} \rceil}^{n-2} \left( k - \left\lceil \frac{n}{l} \right\rceil \right) x_{ul} + (k-1)(x_{un-1} + x_{un}) + \sum_{v \in N(u) \cup Q} x_{vj} \\ + \sum_{v \in V \setminus \{u\}} (x_{vn-1} + x_{vn}) \leq \sum_{l=j}^n b_{ul} (w_l - w_{l+1})$$

donde

$$b_{ul} = \begin{cases} \min\{\lceil n/l \rceil, \alpha(N(u)) + 1\}, & \text{si } j \leq l \leq \lceil n/k \rceil - 1 \\ k, & \text{si } \lceil n/k \rceil \leq l \leq n-2 \\ k+1, & \text{si } l \geq n-1 \end{cases}$$

# Nuevas desigualdades válidas de $\mathcal{ECP}$

Estudio  
Poliedral y  
Algoritmo  
B&C para el  
PCEG  
Severin

Introducción

Modelos de  
PLE para  
PCEG

Estudio  
poliedral

Algoritmo de  
plano de  
corte

Algoritmo  
B&C

Resultados  
finales

## *Familias de desigualdades válidas:*

- $J$ -color
  - $(S, J)$ -color
  - $(u, j, S)$ -subvecindad
  - $(u, j)$ -fuera-vecindad
  - $(u, j, k, Q)$ -clique-vecindad
- 
- $\mathcal{F}$  = cara de la desigualdad
    - $\mathcal{F}$  es de dimensión alta
      - ⇒  $\dim(\mathcal{F}) \sim o(\dim(\mathcal{ECP}))$
    - condiciones suficientes para que  $\mathcal{F}$  sea faceta
      - ⇒ ejemplos

## *Familias de desigualdades válidas:*

- $J$ -color
- $(S, J)$ -color
- $(u, j, S)$ -subvecindad
- $(u, j)$ -fuera-vecindad
- $(u, j, k, Q)$ -clique-vecindad
  
- $\mathcal{F}$  = cara de la desigualdad
  - $\mathcal{F}$  es de dimensión alta
    - ⇒  $\dim(\mathcal{F}) \sim o(\dim(\mathcal{ECP}))$
  - condiciones suficientes para que  $\mathcal{F}$  sea faceta
    - ⇒ ejemplos



Familia de desig. válidas  $\rightarrow$  Rutina de separación

“más complejas”	“cantidad polinomial”
Heurísticas golosas	Enumeración directa
Clique	Block
2-rango	Subvecindad
$J$ -color	Fuera-vecindad
$(S, J)$ -color	Clique-vecindad

- Separación de desig. Clique y Block es el de [Méndez-Díaz & Zabala 2005]
- Se probaron procedimientos para separar desigualdades  $(S, J)$ -color, pero éstas no cortan casi nunca

# Separación

Familia de desig. válidas  $\rightarrow$  Rutina de separación

“más complejas”	“cantidad polinomial”
Heurísticas golosas	Enumeración directa
Clique 2-rango $J$ -color $(S, J)$ -color	Block Subvecindad Fuera-vecindad Clique-vecindad

- Separación de desig. Clique y Block es el de [Méndez-Díaz & Zabala 2005]
- Se probaron procedimientos para separar desigualdades  $(S, J)$ -color, pero éstas no cortan casi nunca

Familia de desig. válidas  $\rightarrow$  Rutina de separación

“más complejas”	“cantidad polinomial”
Heurísticas golosas	Enumeración directa
Clique	Block
2-rango	Subvecindad
$J$ -color	Fuera-vecindad
$(S, J)$ -color	Clique-vecindad

- Separación de desig. Clique y Block es el de [Méndez-Díaz & Zabala 2005]
- Se probaron procedimientos para separar desigualdades  $(S, J)$ -color, pero éstas no cortan casi nunca

Familia de desig. válidas  $\rightarrow$  Rutina de separación

“más complejas”	“cantidad polinomial”
Heurísticas golosas	Enumeración directa
Clique 2-rango $J$ -color $(S, J)$ -color	Block Subvecindad Fuera-vecindad Clique-vecindad

- Separación de desig. Clique y Block es el de [\[Méndez-Díaz & Zabala 2005\]](#)
- Se probaron procedimientos para separar desigualdades  $(S, J)$ -color, pero éstas no cortan casi nunca

Familia de desig. válidas  $\rightarrow$  Rutina de separación

“más complejas”	“cantidad polinomial”
Heurísticas golosas	Enumeración directa
Clique 2-rango $J$ -color <del><math>(S, J)</math>-color</del>	Block Subvecindad Fuera-vecindad Clique-vecindad

- Separación de desig. Clique y Block es el de [Méndez-Díaz & Zabala 2005]
- Se probaron procedimientos para separar desigualdades  $(S, J)$ -color, pero éstas no cortan casi nunca

# Performance del alg. de plano de corte

Estudio  
Poliedral y  
Algoritmo  
B&C para el  
PCEG  
Severin

- *Mejor combinación:*  
*Estrategia* = {clique, block, 2-rango, J-color}
- Comparación:
  - Branch-and-Bound vs. Cut-and-Branch
  - 50 instancias aleatorias
  - 20 iteraciones del alg. de plano de corte
  - Tiempo máx: 2 horas

Vért.	Dens.	Inst. res.		Prom. gap rel.		Prom. nodos		Prom. tiempo	
		B&B	C&B	B&B	C&B	B&B	C&B	B&B	C&B
90	10 %	10	10	0 %	0 %	3399	<b>2211</b>	<b>30.9</b>	35.4
70	30 %	10	10	0 %	0 %	55080	<b>42927</b>	2405	<b>1776</b>
70	50 %	0	2	11.5 %	<b>9.8 %</b>	—	<b>51621</b>	—	<b>6192</b>
70	70 %	1	6	10.6 %	<b>3.6 %</b>	<b>19079</b>	19237	<b>1497</b>	3233
70	90 %	10	10	0 %	0 %	39382	<b>1267</b>	1113	<b>68</b>

Introducción

Modelos de  
PLE para  
PCEG

Estudio  
poliedral

Algoritmo de  
plano de  
corte

Algoritmo  
B&C

Resultados  
finales

# Performance del alg. de plano de corte

Estudio  
Poliedral y  
Algoritmo  
B&C para el  
PCEG

Severin

Introducción

Modelos de  
PLE para  
PCEG

Estudio  
poliedral

Algoritmo de  
plano de  
corte

Algoritmo  
B&C

Resultados  
finales

- *Mejor combinación:*

*Estrategia* = {clique, block, 2-rango, J-color}

- Comparación:

- Branch-and-Bound vs. Cut-and-Branch
- 50 instancias aleatorias
- 20 iteraciones del alg. de plano de corte
- Tiempo máx: 2 horas

Vért.	Dens.	Inst. res.		Prom. gap rel.		Prom. nodos		Prom. tiempo	
		B&B	C&B	B&B	C&B	B&B	C&B	B&B	C&B
90	10 %	10	10	0 %	0 %	3399	<b>2211</b>	<b>30.9</b>	35.4
70	30 %	10	10	0 %	0 %	55080	<b>42927</b>	2405	<b>1776</b>
70	50 %	0	2	11.5 %	<b>9.8 %</b>	—	<b>51621</b>	—	<b>6192</b>
70	70 %	1	<b>6</b>	10.6 %	<b>3.6 %</b>	<b>19079</b>	19237	<b>1497</b>	3233
70	90 %	10	10	0 %	0 %	39382	<b>1267</b>	1113	<b>68</b>

# Performance del alg. de plano de corte

Estudio  
Poliedral y  
Algoritmo  
B&C para el  
PCEG

Severin

Introducción

Modelos de  
PLE para  
PCEG

Estudio  
poliedral

Algoritmo de  
plano de  
corte

Algoritmo  
B&C

Resultados  
finales

- *Mejor combinación:*

*Estrategia* = {clique, block, 2-rango, J-color}

- Comparación:

- Branch-and-Bound vs. Cut-and-Branch
- 50 instancias aleatorias
- 20 iteraciones del alg. de plano de corte
- Tiempo máx: 2 horas

Vért.	Dens.	Inst. res.		Prom. gap rel.		Prom. nodos		Prom. tiempo	
		B&B	C&B	B&B	C&B	B&B	C&B	B&B	C&B
90	10 %	10	10	0 %	0 %	3399	<b>2211</b>	<b>30.9</b>	35.4
70	30 %	10	10	0 %	0 %	55080	<b>42927</b>	2405	<b>1776</b>
70	50 %	0	<b>2</b>	11.5 %	<b>9.8 %</b>	—	<b>51621</b>	—	<b>6192</b>
70	70 %	1	<b>6</b>	10.6 %	<b>3.6 %</b>	<b>19079</b>	19237	<b>1497</b>	3233
70	90 %	10	10	0 %	0 %	39382	<b>1267</b>	1113	<b>68</b>



# Performance del alg. de plano de corte

Estudio  
Poliedral y  
Algoritmo  
B&C para el  
PCEG  
Severin

- *Mejor combinación:*  
*Estrategia* = {clique, block, 2-rango, J-color}
- Comparación:
  - Branch-and-Bound vs. Cut-and-Branch
  - 50 instancias aleatorias
  - 20 iteraciones del alg. de plano de corte
  - Tiempo máx: 2 horas

Vért.	Dens.	Inst. res.		Prom. gap rel.		Prom. nodos		Prom. tiempo	
		B&B	C&B	B&B	C&B	B&B	C&B	B&B	C&B
90	10 %	10	10	0 %	0 %	3399	<b>2211</b>	<b>30.9</b>	35.4
70	30 %	10	10	0 %	0 %	55080	<b>42927</b>	2405	<b>1776</b>
70	50 %	0	<b>2</b>	11.5 %	<b>9.8 %</b>	—	<b>51621</b>	—	<b>6192</b>
70	70 %	①	<b>6</b>	10.6 %	<b>3.6 %</b>	19079	<b>6928</b>	1497	<b>841</b>
70	90 %	10	10	0 %	0 %	39382	<b>1267</b>	1113	<b>68</b>

Introducción

Modelos de  
PLE para  
PCEG

Estudio  
poliedral

Algoritmo de  
plano de  
corte

Algoritmo  
B&C

Resultados  
finales

# Algoritmo de plano de corte

Estudio  
Poliedral y  
Algoritmo  
B&C para el  
PCEG

Severin

Introducción

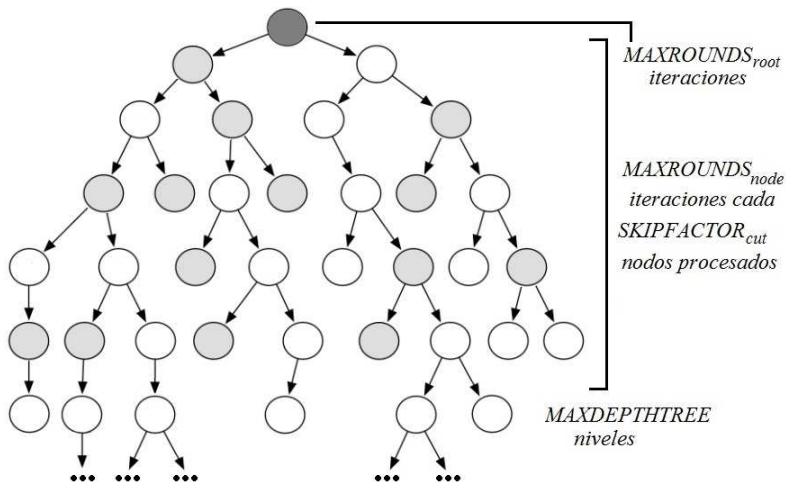
Modelos de  
PLE para  
PCEG

Estudio  
poliedral

Algoritmo de  
plano de  
corte

Algoritmo  
B&C

Resultados  
finales



Mejores:  $MAXROUNDS_{root} = 20$   
 $SKIPFACTOR_{cut} = 2$

$MAXROUNDS_{node} = 1$   
 $MAXDEPTHTREE = 50$

# Algoritmo Branch-and-Cut

Estudio  
Poliedral y  
Algoritmo  
B&C para el  
PCEG

Severin

Introducción

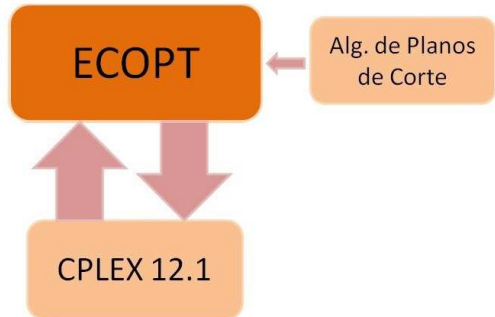
Modelos de  
PLE para  
PCEG

Estudio  
poliedral

Algoritmo de  
plano de  
corte

Algoritmo  
B&C

Resultados  
finales



# Algoritmo Branch-and-Cut



Estudio  
Poliedral y  
Algoritmo  
B&C para el  
PCEG  
Severin

Introducción

Modelos de  
PLE para  
PCEG

Estudio  
poliedral

Algoritmo de  
plano de  
corte

Algoritmo  
B&C

Resultados  
finales

- **TabuCol: [Hertz & de Werra 1987]**

- *Espacio de soluciones*: particiones  $(V_1, V_2, \dots, V_k)$

- *Objetivo*: que cada  $V_i$  sea estable

- $\sum_{i=1}^k |E(V_i)| = 0 \iff (V_1, V_2, \dots, V_k)$  es un  $k$ -coloreo

- Minimizar  $\sum_{i=1}^k |E(V_i)|$

- *Búsqueda de próxima solución*:

$i, j, v \in V_i$  (conflictivo)

1.  $v$  va de  $V_i$  a  $V_j \leftarrow \begin{cases} V'_i = V_i \setminus \{v\}, \\ V'_j = V_j \cup \{v\}. \end{cases}$

- **TabuCol: [Hertz & de Werra 1987]**

- *Espacio de soluciones*: particiones  $(V_1, V_2, \dots, V_k)$

- *Objetivo*: que cada  $V_i$  sea estable

- $\sum_{i=1}^k |E(V_i)| = 0 \iff (V_1, V_2, \dots, V_k)$  es un  $k$ -coloreo
- Minimizar  $\sum_{i=1}^k |E(V_i)|$

- *Búsqueda de próxima solución*:

$i, j, v \in V_i$  (conflictivo)

1.  $v$  va de  $V_i$  a  $V_j \leftarrow \begin{cases} V'_i = V_i \setminus \{v\}, \\ V'_j = V_j \cup \{v\}. \end{cases}$

- **TabuCol: [Hertz & de Werra 1987]**

- *Espacio de soluciones*: particiones  $(V_1, V_2, \dots, V_k)$

- *Objetivo*: que cada  $V_i$  sea estable

- $\sum_{i=1}^k |E(V_i)| = 0 \iff (V_1, V_2, \dots, V_k)$  es un  $k$ -coloreo

- Minimizar  $\sum_{i=1}^k |E(V_i)|$

- *Búsqueda de próxima solución*:

$i, j, v \in V_i$  (conflictivo)

1.  $v$  va de  $V_i$  a  $V_j \leftarrow \begin{cases} V'_i = V_i \setminus \{v\}, \\ V'_j = V_j \cup \{v\}. \end{cases}$

- **TabuCol: [Hertz & de Werra 1987]**

- *Espacio de soluciones*: particiones  $(V_1, V_2, \dots, V_k)$

- *Objetivo*: que cada  $V_i$  sea estable

- $\sum_{i=1}^k |E(V_i)| = 0 \iff (V_1, V_2, \dots, V_k)$  es un  $k$ -coloreo

- Minimizar  $\sum_{i=1}^k |E(V_i)|$

- *Búsqueda de próxima solución*:

$i, j, v \in V_i$  (conflictivo)

1.  $v$  va de  $V_i$  a  $V_j \leftarrow \begin{cases} V'_i = V_i \setminus \{v\}, \\ V'_j = V_j \cup \{v\}. \end{cases}$



- **TabuEqCol:**

- *Espacio de soluciones:* particiones  $(V_1, V_2, \dots, V_k)$

$$/ \ ||V_i| - |V_j| \leq 1$$

- *Objetivo:* que cada  $V_i$  sea estable

- $\sum_{i=1}^k |E(V_i)| = 0 \iff (V_1, V_2, \dots, V_k)$  es un *k-eqcol*
- Minimizar  $\sum_{i=1}^k |E(V_i)|$

- *Búsqueda de próxima solución:*

$$i, j, v \in V_i \text{ (conflictivo)}$$

$$1. \quad v \text{ va de } V_i \text{ a } V_j \leftarrow \begin{cases} |V_i| = |V_j| + 1, \\ V'_i = V_i \setminus \{v\}, \\ V'_j = V_j \cup \{v\}. \end{cases}$$

- **TabuEqCol:**

- *Espacio de soluciones:* particiones  $(V_1, V_2, \dots, V_k)$

$$/ \ ||V_i| - |V_j| \leq 1$$

- *Objetivo:* que cada  $V_i$  sea estable

- $\sum_{i=1}^k |E(V_i)| = 0 \iff (V_1, V_2, \dots, V_k)$  es un *k-eqcol*
- Minimizar  $\sum_{i=1}^k |E(V_i)|$

- *Búsqueda de próxima solución:*

$$i, j, v \in V_i \text{ (conflictivo)}$$

$$1. \quad v \text{ va de } V_i \text{ a } V_j \leftarrow \begin{cases} |V_i| = |V_j| + 1, \\ V'_i = V_i \setminus \{v\}, \\ V'_j = V_j \cup \{v\}. \end{cases}$$

$$2. \quad \text{Intercambiar } v \text{ con } u \leftarrow \begin{cases} u \in V_j, \\ V'_i = V_i \cup \{u\} \setminus \{v\}, \\ V'_j = V_j \cup \{v\} \setminus \{u\}. \end{cases}$$

# TabuEqCol: Resultados computacionales

Estudio  
Poliedral y  
Algoritmo  
B&C para el  
PCEG  
Severin

Introducción

Modelos de  
PLE para  
PCEG

Estudio  
poliedral

Algoritmo de  
plano de  
corte

Algoritmo  
B&C

Resultados  
finales

- Comparación con Naive [Kubale & Furmańczyk 2005]
- Límite de tiempo de TabuEqCol: 30 segundos
- Límite de iteraciones de TabuEqCol: 50000
- 25 instancias aleatorias de 100 vértices
  - TabuEqCol logra mejores soluciones en 96 % de los casos respecto de Naive
  - En una instancia la reducción es de un 53 % (Naive: 32-eqcol, TabuEqCol: 15-eqcol)
  - Reducción más pronunciada en grafos de densidad media  
☞ son las más difíciles de resolver y es justo donde se requieren cotas de mejor calidad ☺
- 62 instancias de prueba (Kneser + COLORLIB/DIMACS)
  - **Optimalidad:** Naive  $\rightarrow$  10 % de los casos  
TabuEqCol  $\rightarrow$  18 % de los casos
  - *Diferencia entre cota inf. y cota sup. de una unidad:* De las instancias restantes, Naive  $\rightarrow$  14 % de los casos  
TabuEqCol en el 41 % de los casos

# TabuEqCol: Resultados computacionales

Estudio  
Poliedral y  
Algoritmo  
B&C para el  
PCEG  
Severin

Introducción

Modelos de  
PLE para  
PCEG

Estudio  
poliedral

Algoritmo de  
plano de  
corte

Algoritmo  
B&C

Resultados  
finales

- Comparación con Naive [Kubale & Furmańczyk 2005]
- Límite de tiempo de TabuEqCol: 30 segundos
- Límite de iteraciones de TabuEqCol: 50000
- 25 instancias aleatorias de 100 vértices
  - TabuEqCol logra mejores soluciones en 96 % de los casos respecto de Naive
  - En una instancia la reducción es de un 53 % (Naive: 32-eqcol, TabuEqCol: 15-eqcol)
  - Reducción más pronunciada en grafos de densidad media  
☞ son las más difíciles de resolver y es justo donde se requieren cotas de mejor calidad 😊
- 62 instancias de prueba (Kneser + COLORLIB/DIMACS)
  - **Optimalidad:** Naive → 10 % de los casos  
TabuEqCol → 18 % de los casos
  - *Diferencia entre cota inf. y cota sup. de una unidad:* De las instancias restantes, Naive → 14 % de los casos  
TabuEqCol en el 41 % de los casos

# TabuEqCol: Resultados computacionales

Estudio  
Poliedral y  
Algoritmo  
B&C para el  
PCEG  
Severin

Introducción

Modelos de  
PLE para  
PCEG

Estudio  
poliedral

Algoritmo de  
plano de  
corte

Algoritmo  
B&C

Resultados  
finales

- Comparación con Naive [Kubale & Furmańczyk 2005]
- Límite de tiempo de TabuEqCol: 30 segundos
- Límite de iteraciones de TabuEqCol: 50000
- 25 instancias aleatorias de 100 vértices
  - TabuEqCol logra mejores soluciones en 96 % de los casos respecto de Naive
  - En una instancia la reducción es de un 53 % (Naive: 32-eqcol, TabuEqCol: 15-eqcol)
  - Reducción más pronunciada en grafos de densidad media  
☞ son las más difíciles de resolver y es justo donde se requieren cotas de mejor calidad ☺
- 62 instancias de prueba (Kneser + COLORLIB/DIMACS)
  - **Optimalidad:** Naive  $\rightarrow$  10 % de los casos  
TabuEqCol  $\rightarrow$  18 % de los casos
  - *Diferencia entre cota inf. y cota sup. de una unidad:* De las instancias restantes, Naive  $\rightarrow$  14 % de los casos  
TabuEqCol en el 41 % de los casos

# Heurísticas Primales

$(x^*, w^*)$  fraccionaria  $\rightarrow$   $(x, w)$  eqcol

- *Esquemas:*

HeurPrim <sub>1</sub>	HeurPrim <sub>2</sub>
Se arma coloreo parcial con la siguiente regla: $x_{vj}^* = 1 \rightarrow v$ se pinta de $j$	
$(v, j) / x_{vj}^*$ máximo	$j /  \{u : x_{uj}^* \notin \mathbb{Z}\} $ mínimo $v / x_{vj}^*$ máximo
$v$ se pinta de $j$	

- *Experiencia computacional:*

- Pruebas computacionales evidencian que es conveniente habilitar ambas heurísticas en todos los nodos del árbol
- Mejor que heurística por defecto de CPLEX en instancias de media a alta densidad

# Heurísticas Primales

$(x^*, w^*)$  fraccionaria  $\rightarrow$   $(x, w)$  eqcol

- *Esquemas:*

HeurPrim <sub>1</sub>	HeurPrim <sub>2</sub>
Se arma coloreo parcial con la siguiente regla: $x_{vj}^* = 1 \rightarrow v$ se pinta de $j$	
$(v, j) / x_{vj}^*$ máximo	$j /  \{u : x_{uj}^* \notin \mathbb{Z}\} $ mínimo $v / x_{vj}^*$ máximo
$v$ se pinta de $j$	

- *Experiencia computacional:*

- Pruebas computacionales evidencian que es conveniente habilitar ambas heurísticas en todos los nodos del árbol
- Mejor que heurística por defecto de CPLEX en instancias de media a alta densidad

# Heurísticas Primales

$$(x^*, w^*) \text{ fraccionaria} \longrightarrow (x, w) \text{ eqcol}$$

- *Esquemas:*

HeurPrim <sub>1</sub>	HeurPrim <sub>2</sub>
Se arma coloreo parcial con la siguiente regla: $x_{vj}^* = 1 \longrightarrow v$ se pinta de $j$	
$(v, j) / x_{vj}^*$ máximo	$j /  \{u : x_{uj}^* \notin \mathbb{Z}\} $ mínimo $v / x_{vj}^*$ máximo
$v$ se pinta de $j$	

- *Experiencia computacional:*

- Pruebas computacionales evidencian que es conveniente habilitar ambas heurísticas en todos los nodos del árbol
- Mejor que heurística por defecto de CPLEX en instancias de media a alta densidad



# Estrategia de Branching

Estudio  
Poliedral y  
Algoritmo  
B&C para el  
PCEG

Severin

Introducción

Modelos de  
PLE para  
PCEG

Estudio  
poliedral

Algoritmo de  
plano de  
corte

Algoritmo  
B&C

Resultados  
finales

- Dada  $(x^*, w^*)$  fraccionaria, elegir variable  $x_{v_j}^* \notin \mathbb{Z}$
- $x^* \in \mathbb{Z} \Rightarrow w^* \in \mathbb{Z}$

# Estrategia de Branching

- Dada  $(x^*, w^*)$  fraccionaria, elegir variable  $x_{v_j}^* \notin \mathbb{Z}$
- $x^* \in \mathbb{Z} \Rightarrow w^* \in \mathbb{Z}$

Estudio  
Poliedral y  
Algoritmo  
B&C para el  
PCEG

Severin

Introducción

Modelos de  
PLE para  
PCEG

Estudio  
poliedral

Algoritmo de  
plano de  
corte

Algoritmo  
B&C

Resultados  
finales

# Estrategia de Branching

Estudio  
Poliedral y  
Algoritmo  
B&C para el  
PCEG

Severin

Introducción

Modelos de  
PLE para  
PCEG

Estudio  
poliedral

Algoritmo de  
plano de  
corte

Algoritmo  
B&C

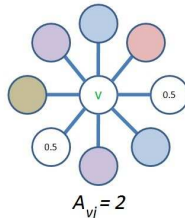
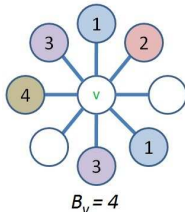
Resultados  
finales

- Dada  $(x^*, w^*)$  fraccionaria, elegir variable  $x_{vj}^* \notin \mathbb{Z}$
- $x^* \in \mathbb{Z} \Rightarrow w^* \in \mathbb{Z}$
- **Criterio:** elijo  $v$  según vecindad más colorida

$$B_v = |\{k \in \{1, \dots, n\} : x_{uk}^* = 1, \forall u \in N(v)\}| \quad \text{máximo}$$

elijo  $j$  según vecindad más fraccionaria

$$A_{vj} = |\{u \in N(v) : x_{uj}^* \notin \mathbb{Z}\}| \quad \text{máximo}$$



- *Experiencia computacional:* De 6 a 8 veces más rápido que la estrategia de branching por defecto de CPLEX

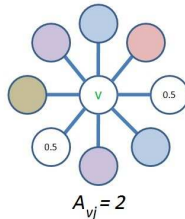
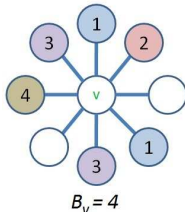
# Estrategia de Branching

- Dada  $(x^*, w^*)$  fraccionaria, elegir variable  $x_{vj}^* \notin \mathbb{Z}$
- $x^* \in \mathbb{Z} \Rightarrow w^* \in \mathbb{Z}$
- *Criterio:* elijo  $v$  según vecindad más colorida

$$B_v = |\{k \in \{1, \dots, n\} : x_{uk}^* = 1, \forall u \in N(v)\}| \quad \text{máximo}$$

elijo  $j$  según vecindad más fraccionaria

$$A_{vj} = |\{u \in N(v) : x_{uj}^* \notin \mathbb{Z}\}| \quad \text{máximo}$$



- *Experiencia computacional:* De 6 a 8 veces más rápido que la estrategia de branching por defecto de CPLEX

# Evaluación final de ECOPT

Estudio  
Poliedral y  
Algoritmo  
B&C para el  
PCEG  
Severin

Introducción

Modelos de  
PLE para  
PCEG

Estudio  
poliedral

Algoritmo de  
plano de  
corte

Algoritmo  
B&C

Resultados  
finales

- Comparamos:
  - TabuEqCo1 + CPLEX 12.1 (estrategia por defecto)
  - TabuEqCo1 + ECOPT
  - B&C-LF<sub>2</sub> [Bahense,Frota,Maculan,Noronha&Ribeiro 2009]
- Instancias aleatorias
  - 100 instancias (10 por línea)
  - Tiempo máx: 2 horas

	Vért.	Dens.	Inst. resueltas			Prom. gap relativo			Prom. tiempo		
			CPX	ECO	LF <sub>2</sub>	CPX	ECO	LF <sub>2</sub>	CPX	ECO	LF <sub>2</sub>
70	10 %	100 %	100 %	100 %	0 %	0 %	0 %	3.7	3.7	109	
	30 %	60 %	100 %	0 %	4.8 %	0 %	18.3 %	1932	16.5	—	
	50 %	0 %	100 %	0 %	8 %	0 %	8.5 %	—	124	—	
	70 %	50 %	90 %	100 %	3.7 %	0.5 %	0 %	1447	329	273	
	90 %	100 %	100 %	100 %	0 %	0 %	0 %	4.7	5.2	11	
80	10 %	100 %	100 %	?	0 %	0 %	?	6.9	6.5	?	
	30 %	10 %	100 %	?	12.1 %	0 %	?	4200	204	?	
	50 %	0 %	0 %	?	11.6 %	7.7 %	?	—	—	?	
	70 %	0 %	40 %	?	7 %	3.5 %	?	—	3227	?	
	90 %	100 %	100 %	?	0 %	0 %	?	366	41	?	

# Evaluación final de ECOPT

Estudio  
Poliedral y  
Algoritmo  
B&C para el  
PCEG  
Severin

- Comparamos:
  - TabuEqCo1 + CPLEX 12.1 (estrategia por defecto)
  - TabuEqCo1 + ECOPT
  - B&C-LF<sub>2</sub> [Bahense,Frota,Maculan,Noronha&Ribeiro 2009]
- Instancias aleatorias
  - 100 instancias (10 por línea)
  - Tiempo máx: 2 horas

Introducción

Modelos de  
PLE para  
PCEG

Estudio  
poliedral

Algoritmo de  
plano de  
corte

Algoritmo  
B&C

Resultados  
finales

Vért.	Dens.	Inst. resueltas			Prom. gap relativo			Prom. tiempo		
		CPX	ECO	LF <sub>2</sub>	CPX	ECO	LF <sub>2</sub>	CPX	ECO	LF <sub>2</sub>
70	10 %	100 %	100 %	100 %	0 %	0 %	0 %	3.7	3.7	109
	30 %	60 %	100 %	0 %	4.8 %	0 %	18.3 %	1932	16.5	—
	50 %	0 %	100 %	0 %	8 %	0 %	8.5 %	—	124	—
	70 %	50 %	90 %	100 %	3.7 %	0.5 %	0 %	1447	329	273
	90 %	100 %	100 %	100 %	0 %	0 %	0 %	4.7	5.2	11
80	10 %	100 %	100 %	?	0 %	0 %	?	6.9	6.5	?
	30 %	10 %	100 %	?	12.1 %	0 %	?	4200	204	?
	50 %	0 %	0 %	?	11.6 %	7.7 %	?	—	—	?
	70 %	0 %	40 %	?	7 %	3.5 %	?	—	3227	?
	90 %	100 %	100 %	?	0 %	0 %	?	366	41	?

# Evaluación final de ECOPT

Estudio  
Poliedral y  
Algoritmo  
B&C para el  
PCEG  
Severin

Introducción

Modelos de  
PLE para  
PCEG

Estudio  
poliedral

Algoritmo de  
plano de  
corte

Algoritmo  
B&C

Resultados  
finales

- Comparamos:
  - TabuEqCo1 + CPLEX 12.1 (estrategia por defecto)
  - TabuEqCo1 + ECOPT
  - B&C-LF<sub>2</sub> [Bahense,Frota,Maculan,Noronha&Ribeiro 2009]
- Instancias aleatorias
  - 100 instancias (10 por línea)
  - Tiempo máx: 2 horas

Vért.	Dens.	Inst. resueltas			Prom. gap relativo			Prom. tiempo		
		CPX	ECO	LF <sub>2</sub>	CPX	ECO	LF <sub>2</sub>	CPX	ECO	LF <sub>2</sub>
70	10 %	100 %	100 %	100 %	0 %	0 %	0 %	<b>3.7</b>	<b>3.7</b>	109
	30 %	60 %	<b>100 %</b>	0 %	4.8 %	<b>0 %</b>	18.3 %	1932	<b>16.5</b>	—
	50 %	0 %	<b>100 %</b>	0 %	8 %	<b>0 %</b>	8.5 %	—	<b>124</b>	—
	70 %	50 %	90 %	<b>100 %</b>	3.7 %	0.5 %	<b>0 %</b>	1447	329	<b>273</b>
	90 %	100 %	100 %	100 %	0 %	0 %	0 %	<b>4.7</b>	5.2	11
80	10 %	100 %	100 %	?	0 %	0 %	?	6.9	<b>6.5</b>	?
	30 %	10 %	<b>100 %</b>	?	12.1 %	<b>0 %</b>	?	4200	<b>204</b>	?
	50 %	0 %	0 %	?	11.6 %	<b>7.7 %</b>	?	—	—	?
	70 %	0 %	<b>40 %</b>	?	7 %	<b>3.5 %</b>	?	—	<b>3227</b>	?
	90 %	100 %	100 %	?	0 %	0 %	?	366	<b>41</b>	?

# Comparaciones finales

Estudio  
Poliedral y  
Algoritmo  
B&C para el  
PCEG

Severin

Introducción

Modelos de  
PLE para  
PCEG

Estudio  
poliedral

Algoritmo de  
plano de  
corte

Algoritmo  
B&C

Resultados  
finales

- Instancias de prueba (Kneser + COLORLIB/DIMACS)
  - 51 instancias
  - Tiempo máx: 4 horas
- Instancias resueltas por B&C-LF<sub>2</sub> no fueron obstáculo para ECOPT. En muchas de ellas, B&C-LF<sub>2</sub> tardó entre 1 y 2 órdenes de magnitud más que ECOPT  
*Ejemplo (5\_FullIns\_3): LF<sub>2</sub> → 268 seg, ECOPT → 3 seg*
- ECOPT vs. CPLEX
  - En (ii) se evalúa *tiempo*
    - ☞ hay empate si diferencia es de 1 segundo
  - En (i) se evalúa *gap relativo*

	CPLEX gana	ECOPT gana	Hay empate	TOTAL
(i) Inst. que ninguno resuelve	2	5	3	10
(ii) Inst. que ambos resuelven	6	9	22	37
(iii) Inst. que alguno resuelve	0	4	0	4
Total de instancias evaluadas	8	15	25	51



# Comparaciones finales

Estudio  
Poliedral y  
Algoritmo  
B&C para el  
PCEG

Severin

Introducción

Modelos de  
PLE para  
PCEG

Estudio  
poliedral

Algoritmo de  
plano de  
corte

Algoritmo  
B&C

Resultados  
finales

- Instancias de prueba (Kneser + COLORLIB/DIMACS)
  - 51 instancias
  - Tiempo máx: 4 horas
- Instancias resueltas por B&C-LF<sub>2</sub> no fueron obstáculo para ECOPT. En muchas de ellas, B&C-LF<sub>2</sub> tardó entre 1 y 2 órdenes de magnitud más que ECOPT  
*Ejemplo (5\_FullIns\_3): LF<sub>2</sub> → 268 seg, ECOPT → 3 seg*
- ECOPT vs. CPLEX
  - En (ii) se evalúa *tiempo*
    - ☞ hay empate si diferencia es de 1 segundo
  - En (i) se evalúa *gap relativo*

	CPLEX gana	ECOPT gana	Hay empate	TOTAL
(i) Inst. que ninguno resuelve	2	5	3	10
(ii) Inst. que ambos resuelven	6	9	22	37
(iii) Inst. que alguno resuelve	0	4	0	4
Total de instancias evaluadas	8	15	25	51

- ECOPT vs. CPLEX vs. B&C-LF<sub>2</sub>
  - ECOPT logra resolver instancias de mayor dificultad:
    - instancias aleatorias  $\left\{ \begin{array}{l} \text{mayor cantidad de vértices} \\ \text{densidad media} \end{array} \right.$
    - instancias de prueba que ya eran un desafío para PCG
  - ECOPT reduce el gap en la mayoría de los casos
- Heurística inicial TabuEqCol
  - Además de significar una componente importante por la calidad de las cotas que brinda a ECOPT, es independientemente una herramienta eficiente para generar coloreos equitativos cuando el objetivo no es la optimalidad

- ECOPT vs. CPLEX vs. B&C-LF<sub>2</sub>
  - ECOPT logra resolver instancias de mayor dificultad:
    - instancias aleatorias  $\left\{ \begin{array}{l} \text{mayor cantidad de vértices} \\ \text{densidad media} \end{array} \right.$
    - instancias de prueba que ya eran un desafío para PCG
  - ECOPT reduce el gap en la mayoría de los casos
- Heurística inicial TabuEqCol
  - Además de significar una componente importante por la calidad de las cotas que brinda a ECOPT, es independientemente una herramienta eficiente para generar coloreos equitativos cuando el objetivo no es la optimalidad

- ECOPT vs. CPLEX vs. B&C-LF<sub>2</sub>
  - ECOPT logra resolver instancias de mayor dificultad:
    - instancias aleatorias  $\left\{ \begin{array}{l} \text{mayor cantidad de vértices} \\ \text{densidad media} \end{array} \right.$
    - instancias de prueba que ya eran un desafío para PCG
  - ECOPT reduce el gap en la mayoría de los casos
- Heurística inicial TabuEqCol
  - Además de significar una componente importante por la calidad de las cotas que brinda a ECOPT, es independientemente una herramienta eficiente para generar coloreos equitativos cuando el objetivo no es la optimalidad

- **Mejorar ECOPT:**
  - Nuevas familias de desigualdades válidas que puedan ser utilizadas como cortes
  - Implementar ECOPT en una arquitectura multiprocesador
- **Resultados teóricos:**
  - Describir por desigualdades lineales a  $EC\mathcal{P}$  en familias particulares de grafos
  - Determinar familias de grafos para las cuales el PCEG es polinomial
- **Problema de Coloreo Acotado:**
  - ⇒ tamaño de clases acotados por constante  $h$
  - Adaptar “estudio poliedral” para resolver este problema
    - ⇒ reemplazar restricciones de equidad por:

$$\sum_{v \in V} x_{vj} \leq hw_j, \quad \forall 1 \leq j \leq n$$

- Mejorar ECOPT:
  - Nuevas familias de desigualdades válidas que puedan ser utilizadas como cortes
  - Implementar ECOPT en una arquitectura multiprocesador
- Resultados teóricos:
  - Describir por desigualdades lineales a  $\mathcal{ECP}$  en familias particulares de grafos
  - Determinar familias de grafos para las cuales el PCEG es polinomial
- Problema de Coloreo Acotado:
  - ⇒ tamaño de clases acotados por constante  $h$
  - Adaptar “estudio poliedral” para resolver este problema
    - ⇒ reemplazar restricciones de equidad por:

$$\sum_{v \in V} x_{vj} \leq hw_j, \quad \forall 1 \leq j \leq n$$

- Mejorar ECOPT:
  - Nuevas familias de desigualdades válidas que puedan ser utilizadas como cortes
  - Implementar ECOPT en una arquitectura multiprocesador
- Resultados teóricos:
  - Describir por desigualdades lineales a  $\mathcal{ECP}$  en familias particulares de grafos
  - Determinar familias de grafos para las cuales el PCEG es polinomial
- Problema de Coloreo Acotado:
  - ⇒ tamaño de clases acotados por constante  $h$
  - Adaptar “estudio poliedral” para resolver este problema
    - ⇒ reemplazar restricciones de equidad por:

$$\sum_{v \in V} x_{vj} \leq hw_j, \quad \forall 1 \leq j \leq n$$

- Mejorar ECOPT:
  - Nuevas familias de desigualdades válidas que puedan ser utilizadas como cortes
  - Implementar ECOPT en una arquitectura multiprocesador
- Resultados teóricos:
  - Describir por desigualdades lineales a  $\mathcal{ECP}$  en familias particulares de grafos
  - Determinar familias de grafos para las cuales el PCEG es polinomial
- Problema de Coloreo Acotado:
  - ⇒ tamaño de clases acotados por constante  $h$
  - Adaptar “estudio poliedral” para resolver este problema
    - ⇒ reemplazar restricciones de equidad por:

$$\sum_{v \in V} x_{vj} \leq hw_j, \quad \forall 1 \leq j \leq n$$



# Gracias!

- a mis directoras
- a mi papá, mi hermana y mi novia
- a los del proyecto de Optimización Combinatoria de Rosario
- al Depto. de Computación de la UBA